

# ゼーマンとハンレの基礎

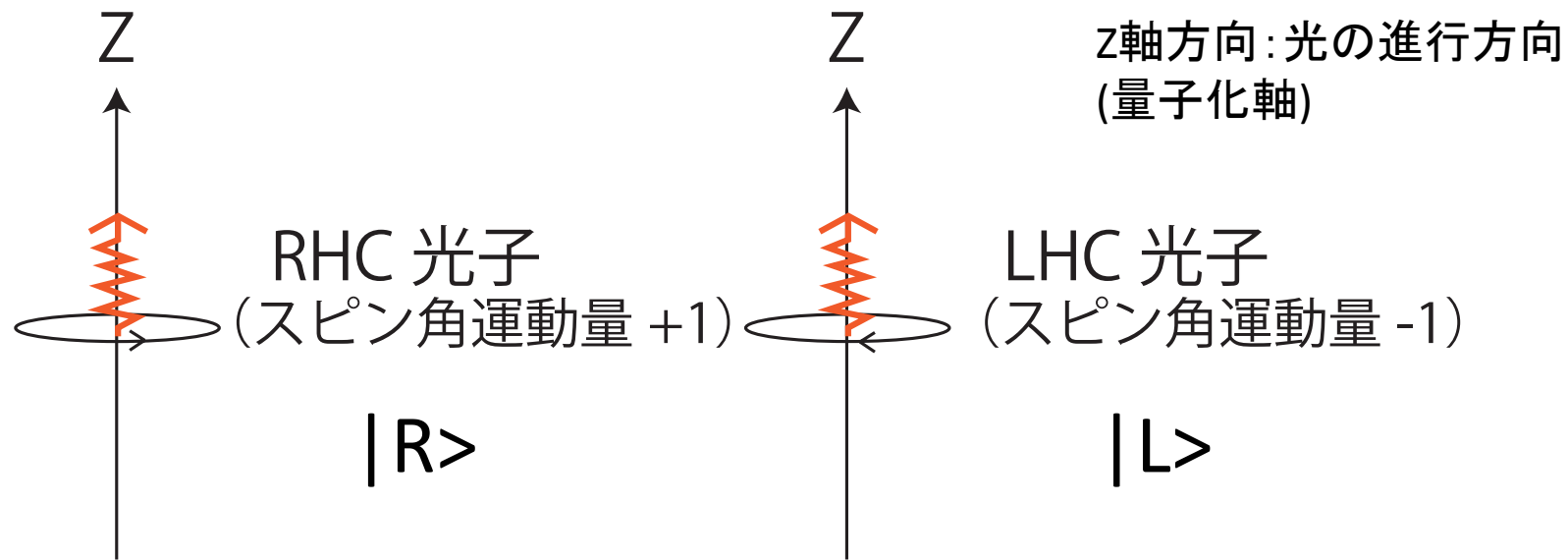
Ver. 3 2012/01/18

R. Ishikawa (NAOJ)

# 目的

- 量子力学に詳しくなくても、この資料でHanle効果について定性的に理解できることを目指した。
- “量子化軸の回転”を用い、以下の項目を同じ枠組みで理解する。
  - Zeeman効果
  - 散乱偏光
  - Hanle効果(ただしSaturationの場合のみ)

# 光の状態



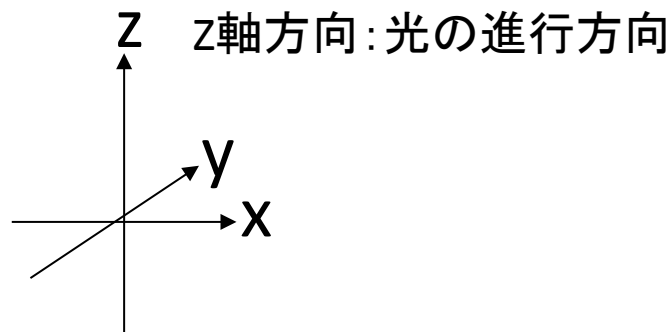
遷移による光の吸収・放射は角運動量保存則に従う.

# 直線偏光

- $x/y$ 方向に偏った光 ( $x/y$ 方向の直線偏光) は RHC ( $|R\rangle$ ) と LHC ( $|L\rangle$ ) の重ね合わせで表現される。

$$-|x\rangle = 1/\sqrt{2}(|R\rangle - |L\rangle)$$

$$-|y\rangle = -i/\sqrt{2}(|R\rangle + |L\rangle)$$



# J=0-1 Transition

J : 全角運動量, m : 磁気量子数 (0, ...,  $\pm(J-1)$ ,  $\pm J$ )

$$|J=1, m=1\rangle = |1\rangle$$



$$|J=1, m=0\rangle = |0\rangle$$



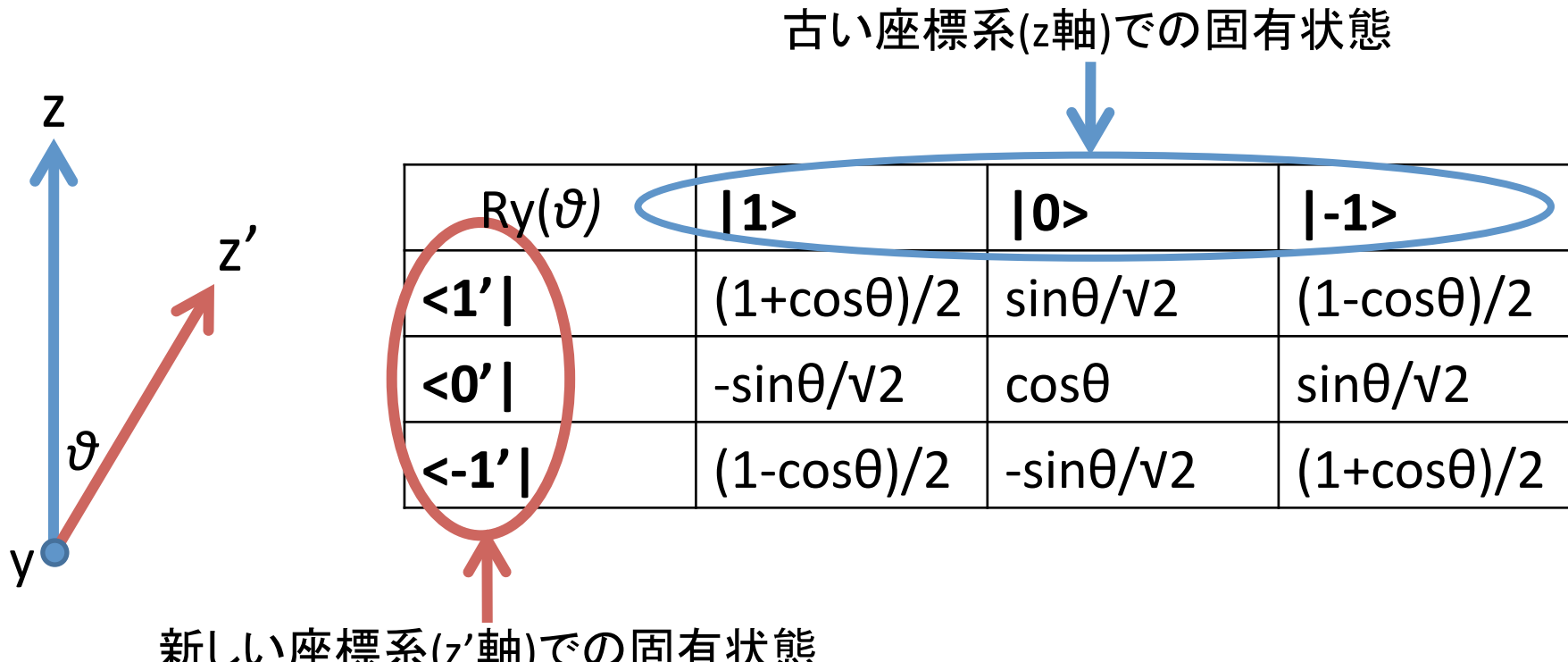
$$|J=1, m=-1\rangle = |-1\rangle$$



$$|J=0, m=0\rangle = |0, 0\rangle$$


Ly- $\alpha$ はJ=2/3-1/2, He I 1083はJ=1-0, J=1-1, 1-2遷移となりもう少し複雑.

# 回転行列 (スピン1の場合)

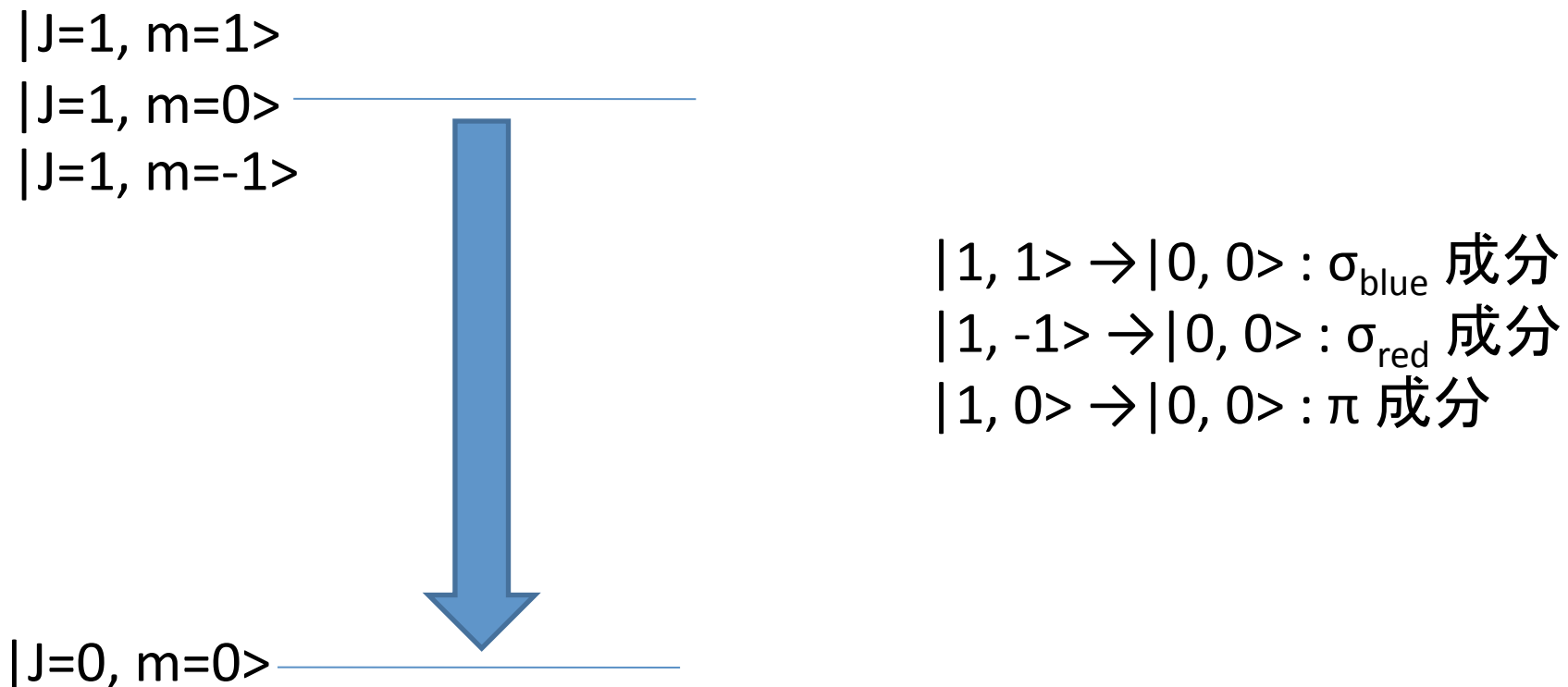


ゼーマン効果: 磁場の方向(z軸)  $\Rightarrow$  視線方向(z'軸).

散乱偏光: 放射場の方向(z軸)  $\Rightarrow$  視線方向(z'軸).

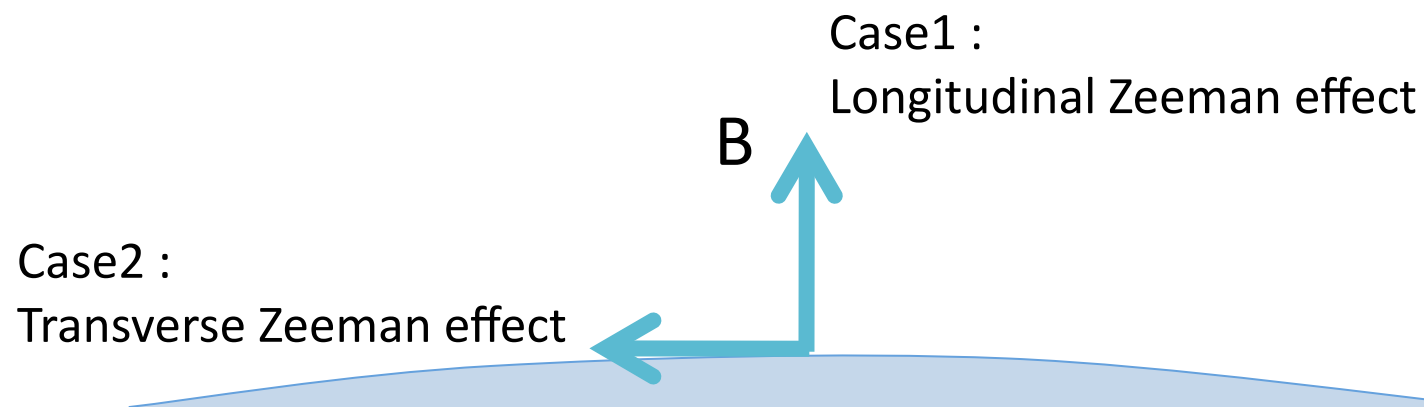
ハンレ効果: 放射場の方向(z軸)  $\Rightarrow$  磁場の方向(z''軸)  $\Rightarrow$  視線方向(z''軸).

# Emission from 3-level atom



Zeeman効果を量子化軸の変換を使って理解する。

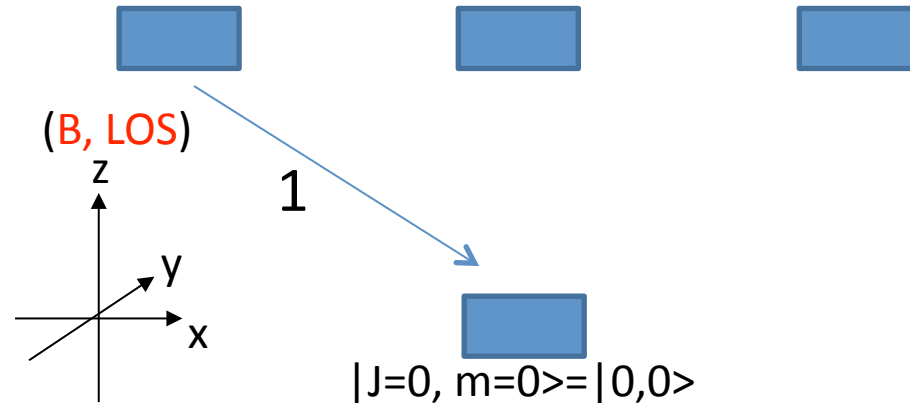
# Zeeman 効果



# 磁場Bと視線方向LOSが平行な場合 ( $\sigma$ 成分)

Transition from  $|J=1, m=1\rangle$  to  $|J=0, m=0\rangle$ ,  $\sigma_{\text{blue}}$  成分

$$|J=1, m=1\rangle = |1\rangle \quad |J=1, m=0\rangle = |0\rangle \quad |J=1, m=-1\rangle = |-1\rangle$$



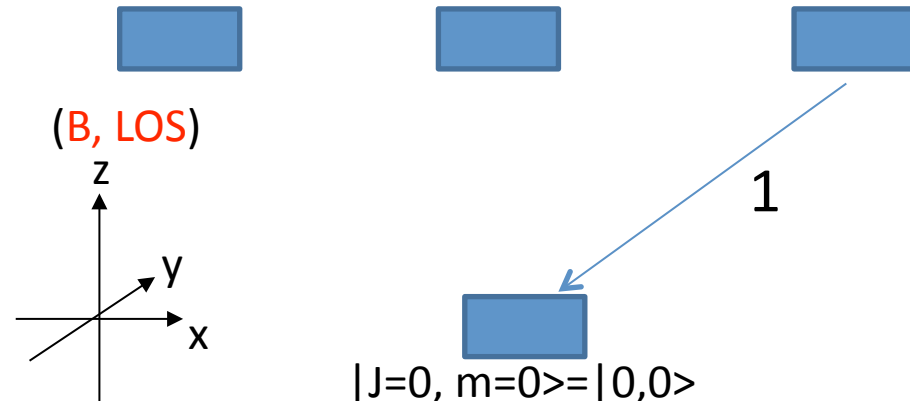
※各成分ごとに考える

量子化軸を磁場かつ視線方向の向きにとる.  
 $\langle 1 | 1 \rangle = 1, \langle 0 | 0 \rangle = \langle -1 | -1 \rangle = 0$

角運動量保存則より、右回りの円偏光( $|R\rangle$ )  
が放射される。

Transition from  $|J=1, m=-1\rangle$  to  $|J=0, m=0\rangle$ ,  $\sigma_{\text{red}}$  成分

$$|J=1, m=1\rangle = |1\rangle \quad |J=1, m=0\rangle = |0\rangle \quad |J=1, m=-1\rangle = |-1\rangle$$



量子化軸を磁場かつ視線方向の向きにとる.  
 $\langle 1 | 1 \rangle = \langle 0 | 0 \rangle = 0, \langle -1 | -1 \rangle = 1$

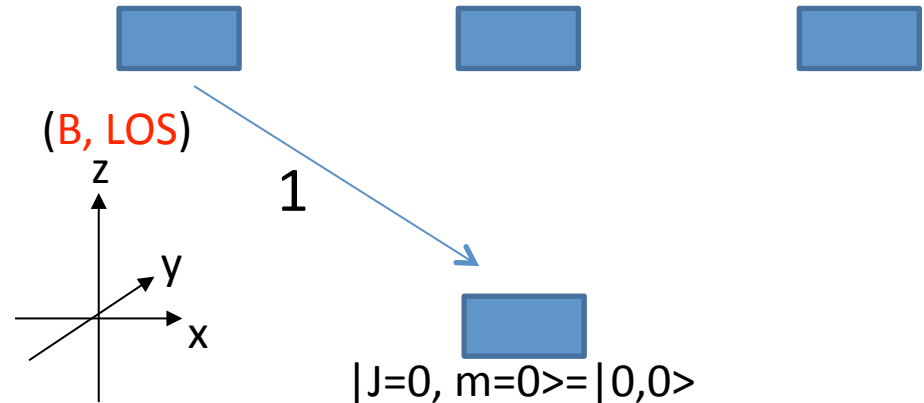
角運動量保存則より、左回りの円偏光( $|L\rangle$ )  
が放射される。

$|R\rangle$ と $|L\rangle$ の状態にある光子はincoherent.  
 $B=0 \Leftrightarrow$ 無偏光。

# 磁場Bと視線方向LOSが平行な場合 ( $\sigma$ 成分)

Transition from  $|J=1, m=1\rangle$  to  $|J=0, m=0\rangle$ ,  $\sigma_{\text{blue}}$  成分

$$|J=1, m=1\rangle = |1\rangle \quad |J=1, m=0\rangle = |0\rangle \quad |J=1, m=-1\rangle = |-1\rangle$$



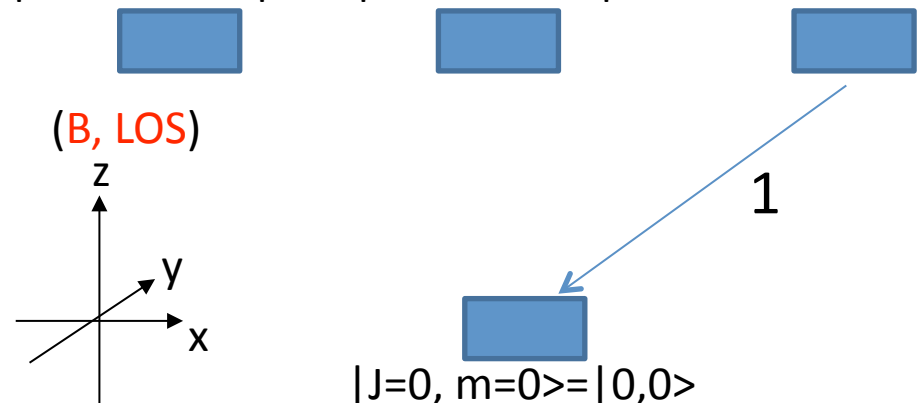
※各成分ごとに考える

量子化軸を磁場かつ視線方向の向きにとる.  
 $\langle 1 | 1 \rangle = 1, \langle 0 | 0 \rangle = \langle -1 | -1 \rangle = 0$

角運動量保存則より、右回りの円偏光( $|R\rangle$ )  
が放射される。

Transition from  $|J=1, m=-1\rangle$  to  $|J=0, m=0\rangle$ ,  $\sigma_{\text{red}}$  成分

$$|J=1, m=1\rangle = |1\rangle \quad |J=1, m=0\rangle = |0\rangle \quad |J=1, m=-1\rangle = |-1\rangle$$



量子化軸を磁場かつ視線方向の向きにとる.  
 $\langle 1 | 1 \rangle = \langle 0 | 0 \rangle = 0, \langle -1 | -1 \rangle = 1$

角運動量保存則より、左回りの円偏光( $|L\rangle$ )  
が放射される。

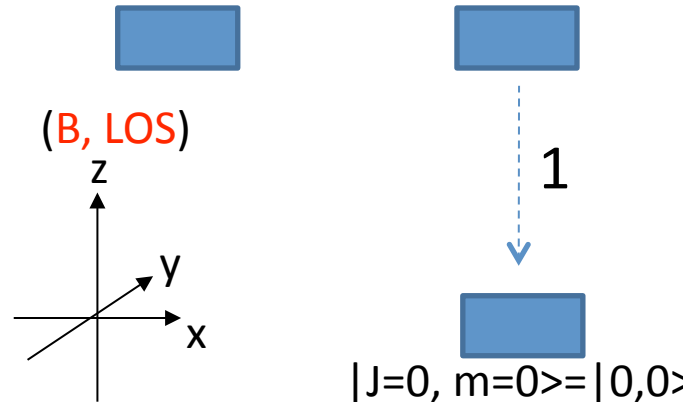
$B \neq 0 \Rightarrow$  縮退が解け、 $|R\rangle$ と $|L\rangle$ の光子のエネルギー準位に差ができる。blue wing,  
red wingでそれぞれ右回り、左回りの円偏光が放射される(ゼーマン効果).<sup>10</sup>

# 磁場Bと視線方向LOSが平行な場合 (π成分)

※各成分ごとに考える

Transition from  $|J=1, m=0\rangle$  to  $|J=0, m=0\rangle$ , π成分

$$|J=1, m=1\rangle = |1\rangle \quad |J=1, m=0\rangle = |0\rangle \quad |J=1, m=-1\rangle = |-1\rangle$$



量子化軸を磁場かつ視線方向の向きにとる。  
 $\langle 1 | 1 \rangle = 0, \langle 0 | 0 \rangle = 1, \langle -1 | -1 \rangle = 0$

角運動量保存則より、量子化軸(z軸)の方向に光子は放射されない(x軸, y軸方向には放射される)。

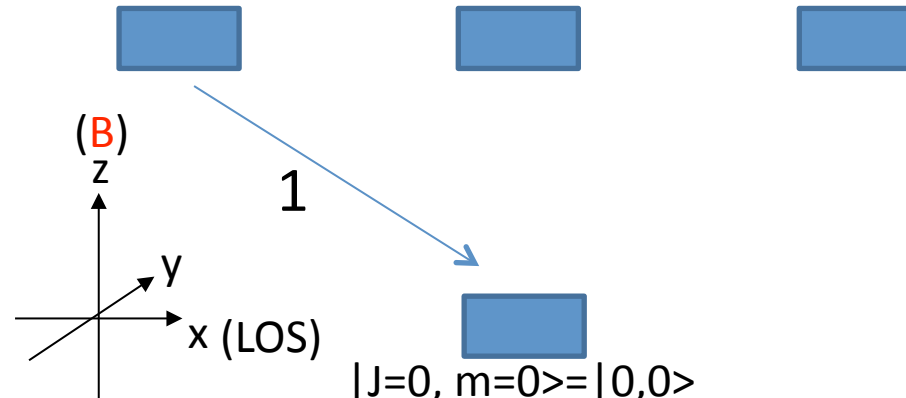
$B \neq 0$ でもπ成分は観測されない。

# 磁場Bと視線方向LOSが垂直な場合 ( $\sigma_{\text{blue}}$ 成分)

Transition from  $|J=1, m=1\rangle$  to  $|J=0, m=0\rangle$ ,  $\sigma_{\text{blue}}$  成分

※各成分ごとに考える

$$|J=1, m=1\rangle = |1\rangle \quad |J=1, m=0\rangle = |0\rangle \quad |J=1, m=-1\rangle = |-1\rangle$$



磁場Bをz軸方向とし, x軸方向から観測.

①量子化軸を磁場の向きにとる.

$$\langle 1 | 1 \rangle = 1, \langle 0 | 0 \rangle = \langle -1 | -1 \rangle = 0$$

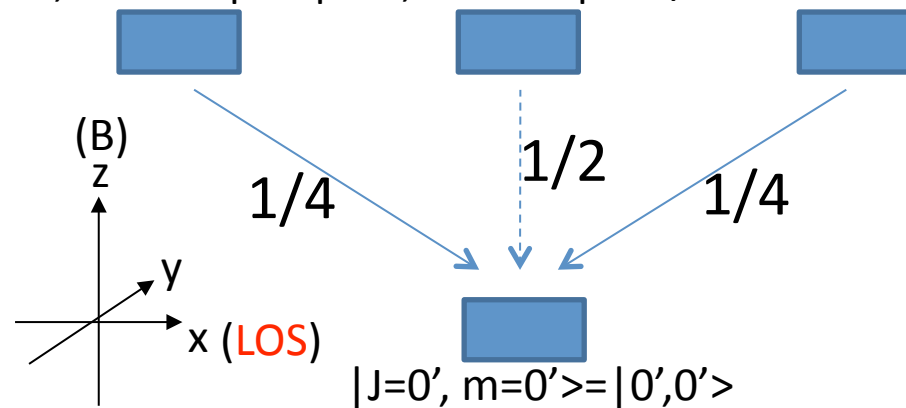
②量子化軸をz軸からx軸に90°回転する.

$$|1'\rangle = (1+\cos\theta)/2 |1\rangle = 1/2 |1\rangle \Leftrightarrow \langle 1' | 1' \rangle = 1/4$$

$$|0'\rangle = -\sin\theta/\sqrt{2} |1\rangle = -1/\sqrt{2} |1\rangle \Leftrightarrow \langle 0' | 0' \rangle = 1/2$$

$$|-1'\rangle = (1-\cos\theta)/2 |1\rangle = 1/2 |1\rangle \Leftrightarrow \langle -1' | -1' \rangle = 1/4$$

$$|J=1', m=1'\rangle = |1'\rangle \quad |J=1', m=0'\rangle = |0'\rangle \quad |J=1', m=-1'\rangle = |-1'\rangle$$



角運動量保存則より,  $|1', 0'\rangle \rightarrow |0', 0'\rangle$ 遷移による光子は視線方向(x軸)には放射されない.

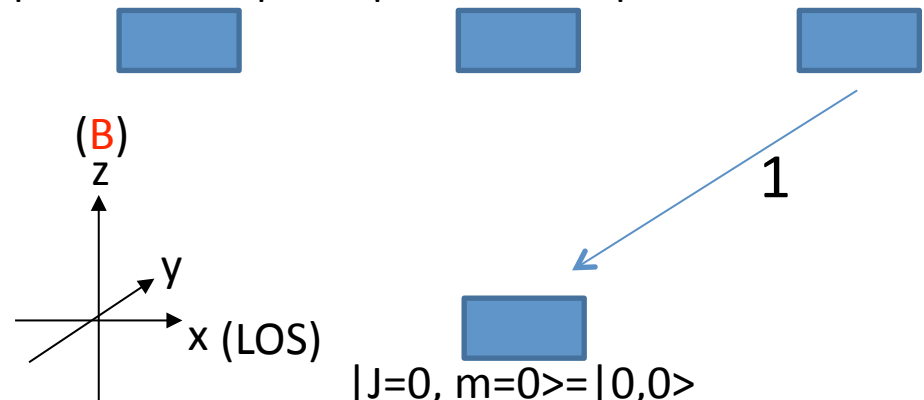
結果として,  $|1'\rangle$ と $|-1'\rangle$ が同位相化 (coherency の発生). 放射される光子は,  $(|R\rangle + |L\rangle)$ で記述される磁場に垂直な, y方向の直線偏光.

# 磁場Bと視線方向LOSが垂直な場合 ( $\sigma_{\text{red}}$ 成分)

Transition from  $|J=1, m=1\rangle$  to  $|J=0, m=0\rangle$ ,  $\sigma_{\text{red}}$ 成分

※各成分ごとに考える

$$|J=1, m=1\rangle = |1\rangle \quad |J=1, m=0\rangle = |0\rangle \quad |J=1, m=-1\rangle = |-1\rangle$$



磁場Bをz軸方向とし, x軸方向から観測.

①量子化軸を磁場の向きにとる.

$$\langle 1 | 1 \rangle = \langle 0 | 0 \rangle = 0, \langle -1 | -1 \rangle = 1$$

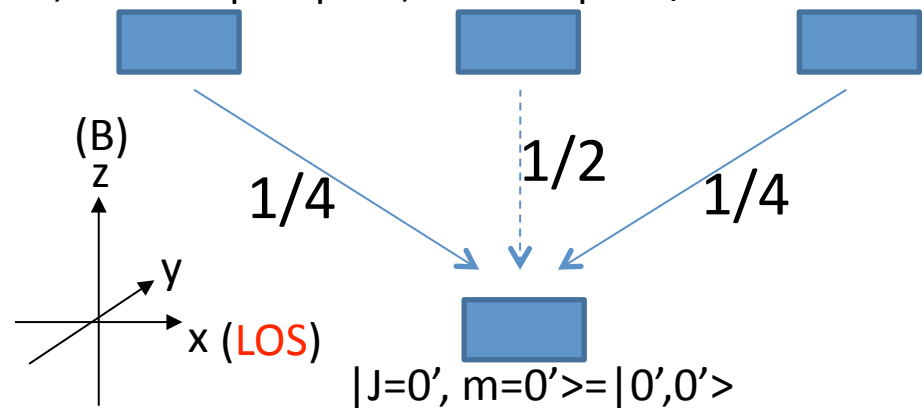
②量子化軸をz軸からx軸に90°回転する.

$$|1'\rangle = (1+\cos\theta)/2 |1\rangle = 1/2 |1\rangle \Leftrightarrow \langle 1' | 1' \rangle = 1/4$$

$$|0'\rangle = -\sin\theta/\sqrt{2} |1\rangle = -1/\sqrt{2} |1\rangle \Leftrightarrow \langle 0' | 0' \rangle = 1/2$$

$$|-1'\rangle = (1-\cos\theta)/2 |1\rangle = 1/2 |1\rangle \Leftrightarrow \langle -1' | -1' \rangle = 1/4$$

$$|J=1', m=1'\rangle = |1'\rangle \quad |J=1', m=0'\rangle = |0'\rangle \quad |J=1', m=-1'\rangle = |-1'\rangle$$



角運動量保存則より,  $|1', 0'\rangle \rightarrow |0', 0'\rangle$ 遷移による光子は視線方向(x軸)には放射されない.

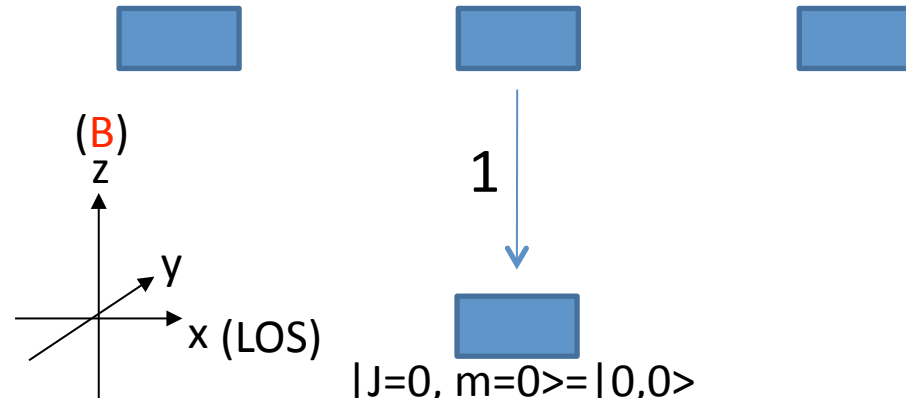
$|1'\rangle$ と $|-1'\rangle$ が同位相化 (coherencyの発生). 放射される光子は,  $(|R\rangle + |L\rangle)$ で記述される磁場に垂直な, y方向の直線偏光.

# 磁場Bと視線方向LOSが垂直な場合 (π成分)

Transition from  $|J=1, m=0\rangle$  to  $|J=0, m=0\rangle$ , π成分

※各成分ごとに考える

$$|J=1, m=1\rangle = |1\rangle \quad |J=1, m=0\rangle = |0\rangle \quad |J=1, m=-1\rangle = |-1\rangle$$



磁場Bをz軸方向とし, x軸方向から観測.

①量子化軸を磁場の向きにとる.

$$\langle 1 | 1 \rangle = 0, \langle 0 | 0 \rangle = 1, \langle -1 | -1 \rangle = 0$$

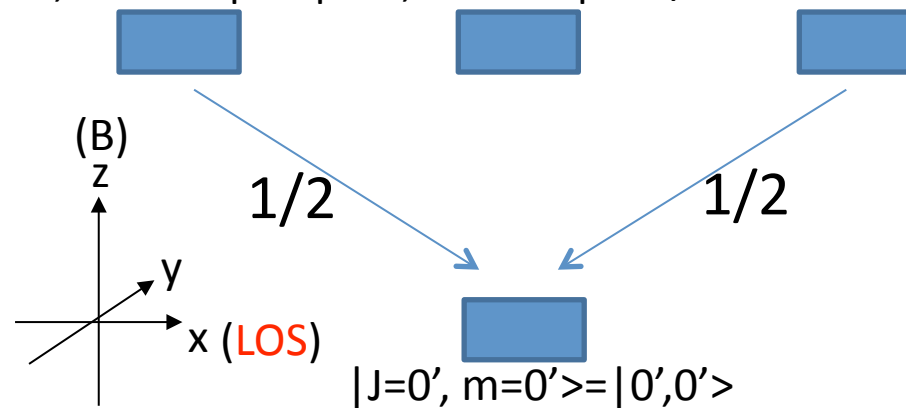
②量子化軸をz軸からx軸に90°回転する.

$$|1'\rangle = \sin\theta/\sqrt{2} |0\rangle = 1/\sqrt{2} |0\rangle \Leftrightarrow \langle 1' | 1' \rangle = 1/2$$

$$|0'\rangle = \cos\theta |0\rangle = 0 \Leftrightarrow \langle 0' | 0' \rangle = 0$$

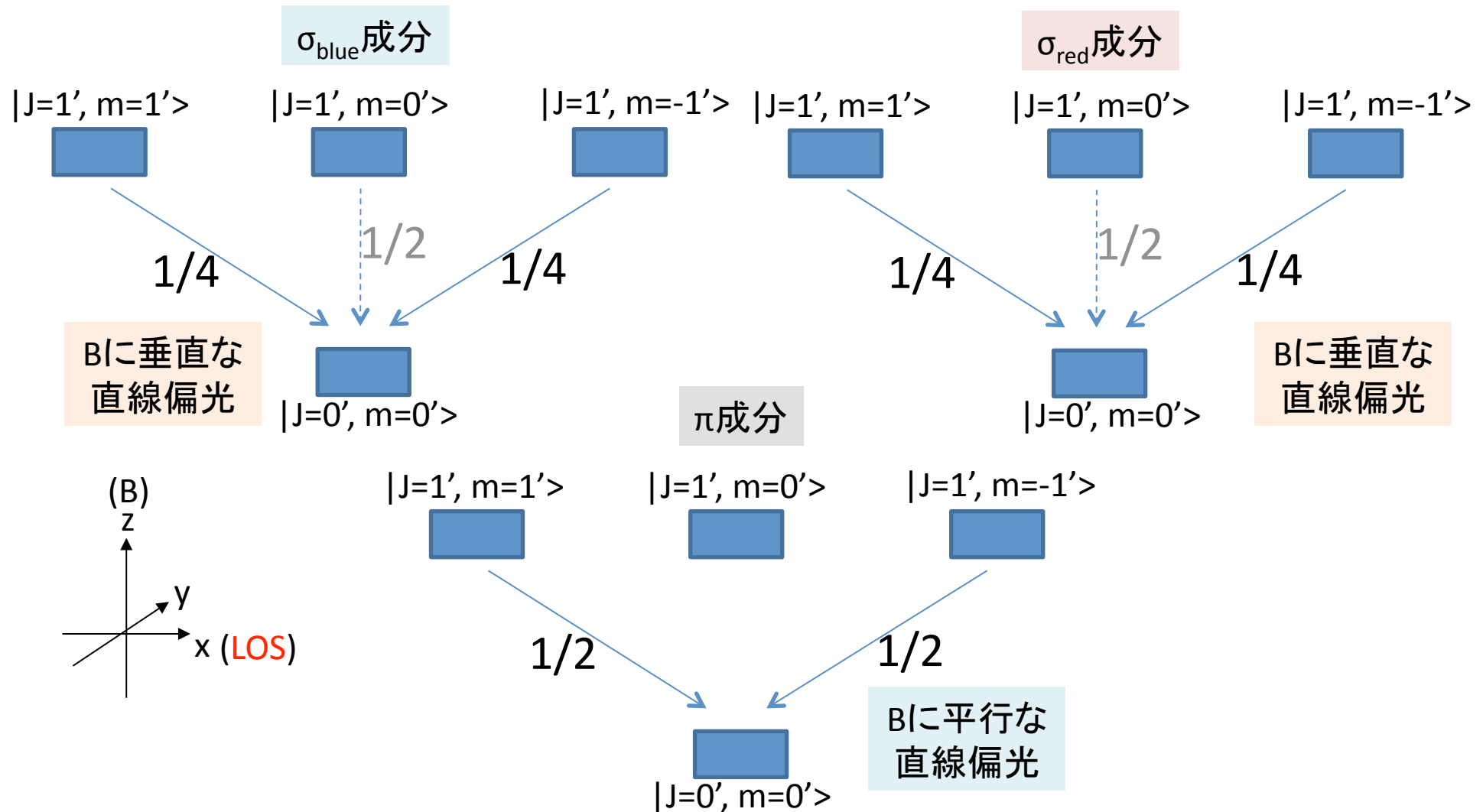
$$|-1'\rangle = -\sin\theta/\sqrt{2} |0\rangle = -1/\sqrt{2} |0\rangle \Leftrightarrow \langle -1' | -1' \rangle = 1/2$$

$$|J=1', m=1'\rangle = |1'\rangle \quad |J=1', m=0'\rangle = |0'\rangle \quad |J=1', m=-1'\rangle = |-1'\rangle$$

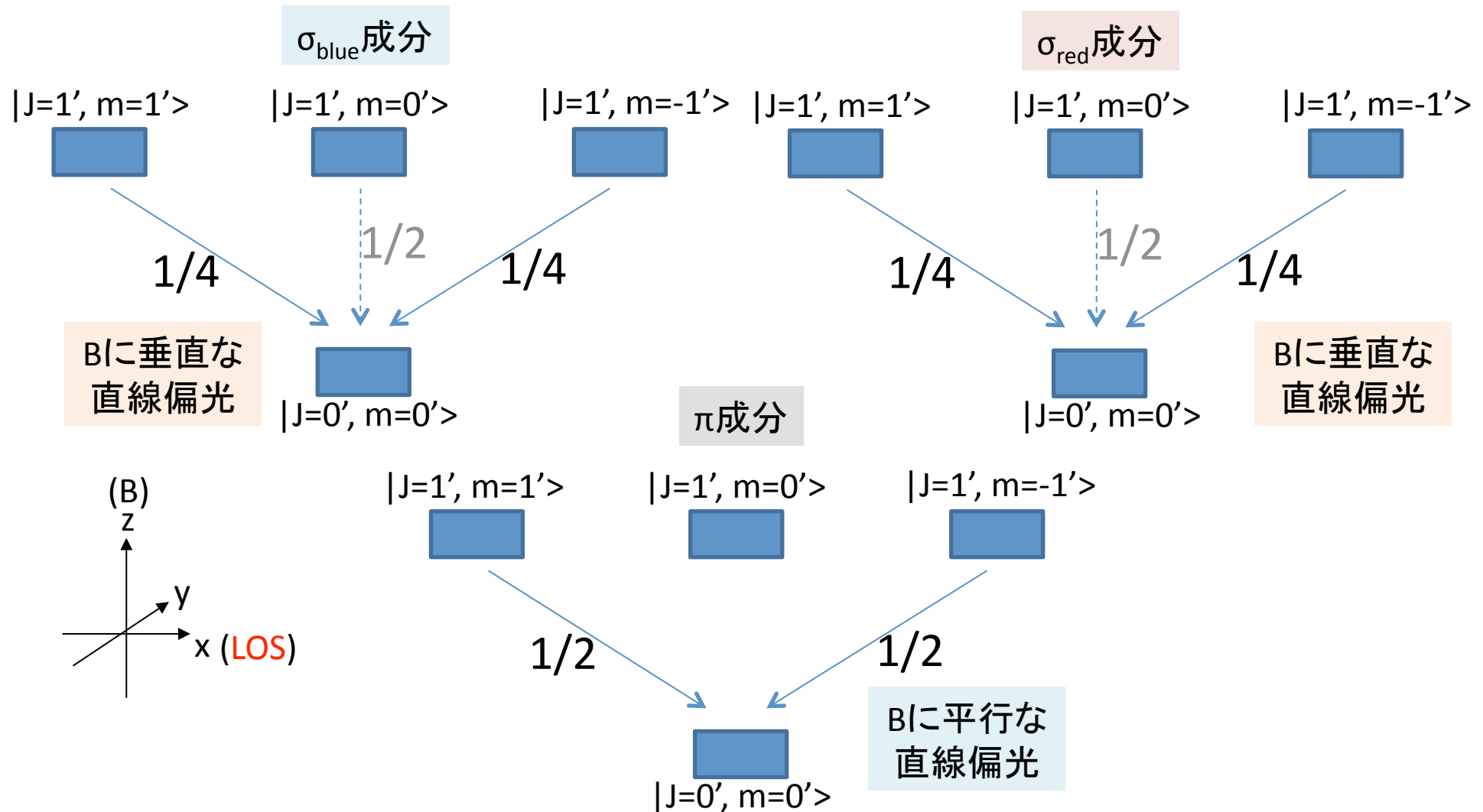


$|1'\rangle$ と $|-1'\rangle$ が同位相化 (coherencyの発生). 放射される光子は,  $1/\sqrt{2}(|R\rangle - |L\rangle)$ で記述される磁場と平行な, x軸方向の直線偏光に対応する.

# 磁場Bと視線方向LOSが垂直な場合(まとめ)



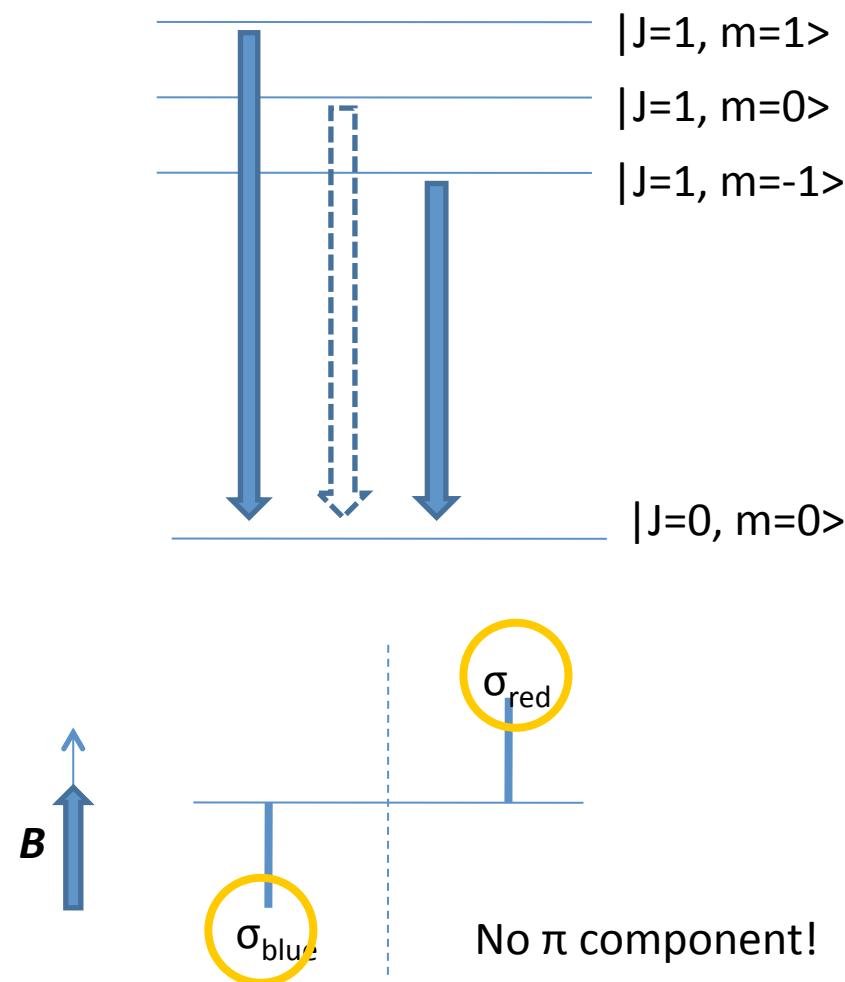
# 磁場Bと視線方向LOSが垂直な場合(まとめ)



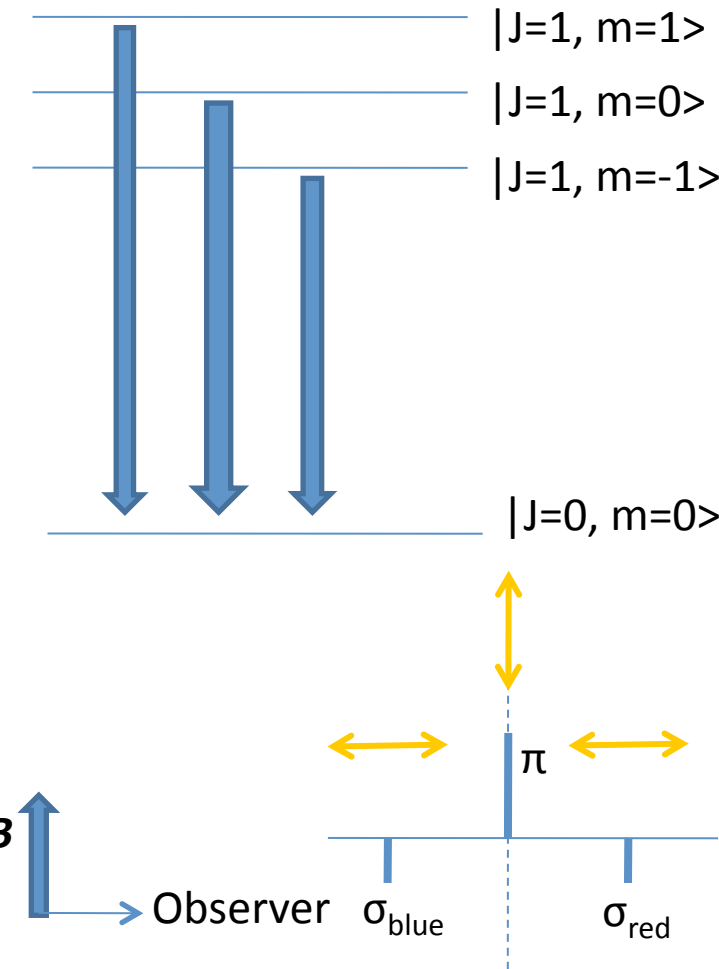
$B \neq 0 \Rightarrow$  縮退が解け各成分のエネルギー準位に差が生じる. blue wing, red wingで  
磁場に垂直, ライン中心で磁場に平行な直線偏光が放射される(ゼーマン効果).  
またその強度は,  $\pi$ 成分の方が2倍大きい.

# Summary of 3 level emissions in Zeeman effect

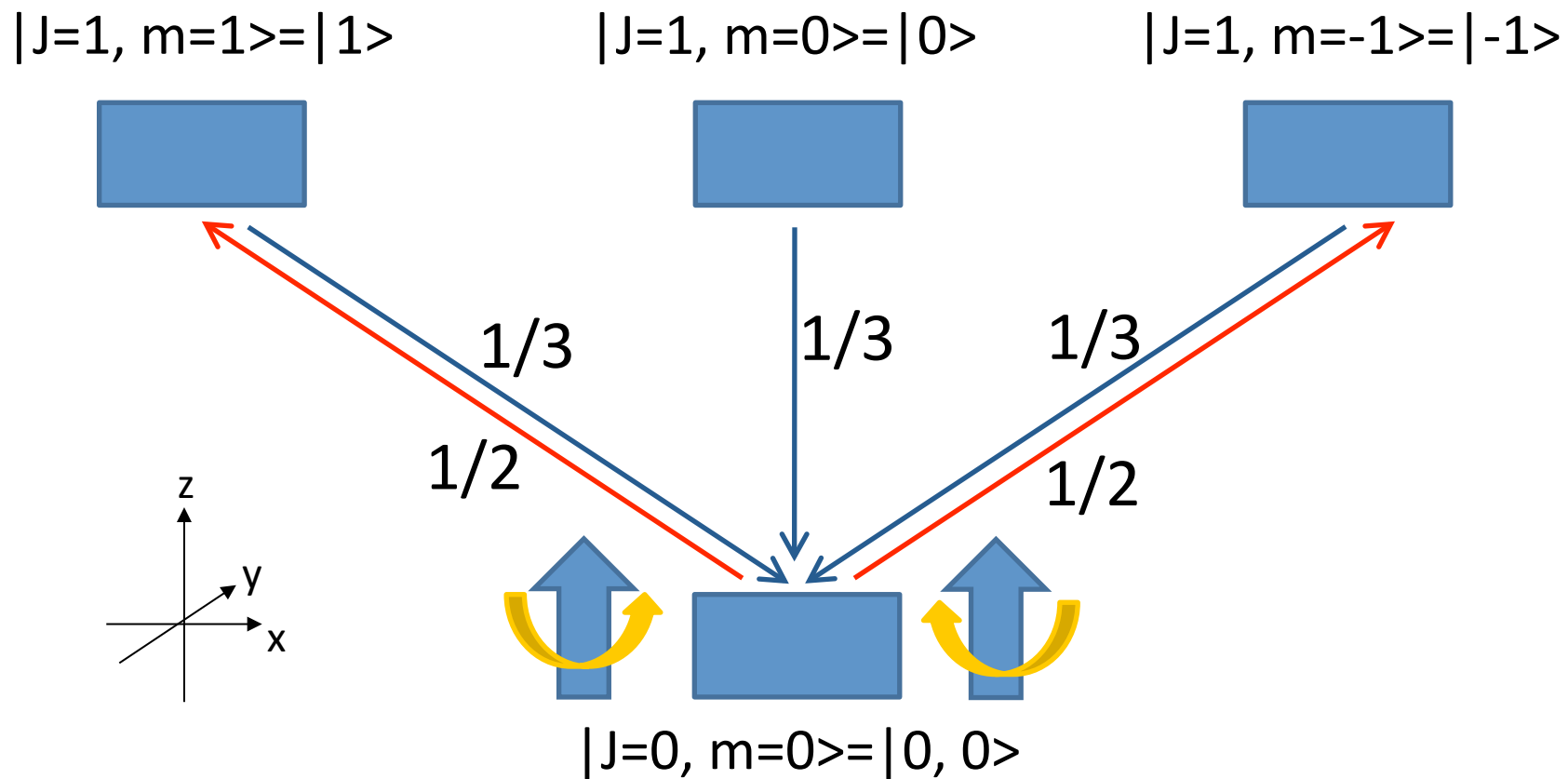
Zeeman effect with  $B \parallel \text{LOS}$



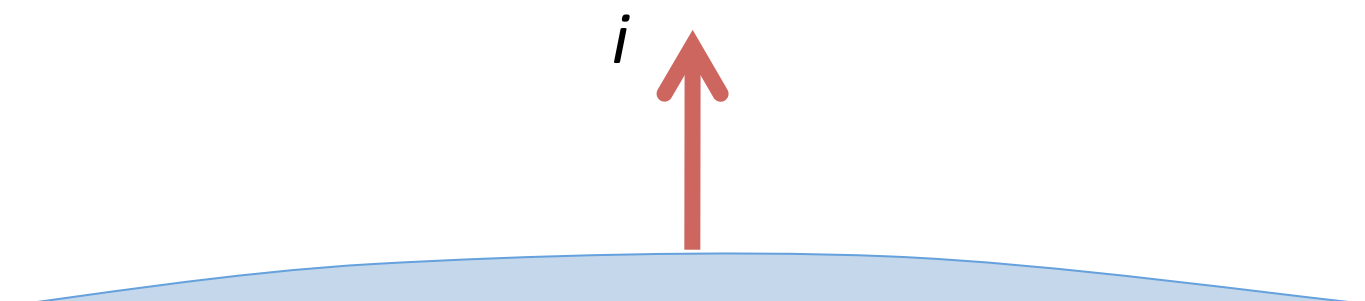
Zeeman effect with  $B \perp \text{LOS}$



# $J=0-1$ 散乱：励起 $\Rightarrow$ 脱励起



# 散乱(太陽中心の場合)



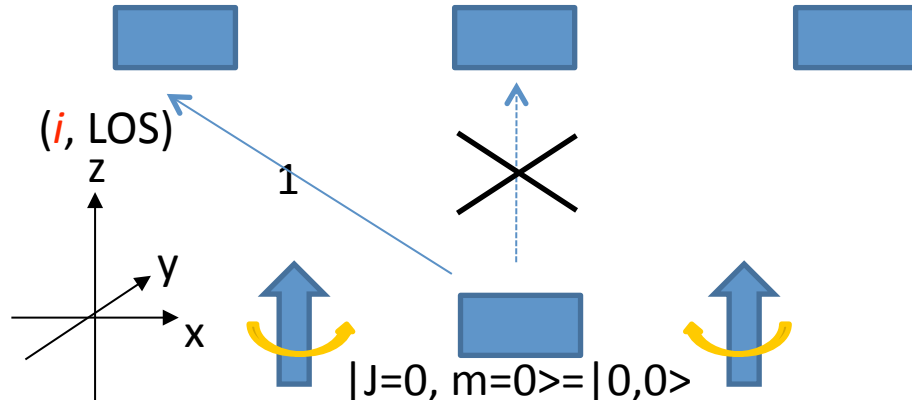
輻射場の軸:太陽表面に対して鉛直方向

# Scattering at disk center -emission process-

※各成分ごとに考える

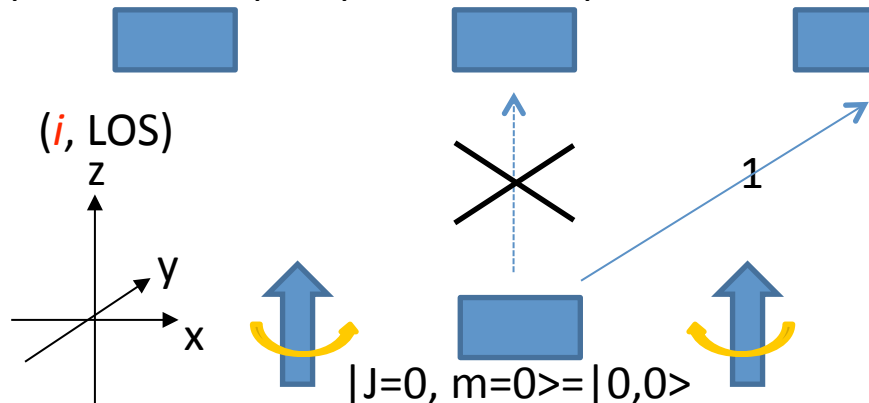
Transition between  $|0,0\rangle$  and  $|1,1\rangle$

$$|J=1, m=1\rangle = |1\rangle \quad |J=1, m=0\rangle = |0\rangle \quad |J=1, m=-1\rangle = |-1\rangle$$



Transition between  $|0,0\rangle$  and  $|1,-1\rangle$

$$|J=1, m=1\rangle = |1\rangle \quad |J=1, m=0\rangle = |0\rangle \quad |J=1, m=-1\rangle = |-1\rangle$$



太陽中心：放射場の軸も視線方向もz軸。

①量子化軸を輻射場の向きにとる。  
角運動量保存則から、 $|1,1\rangle$ への励起では、 $|R\rangle$ が吸収され、 $|1,-1\rangle$ への励起では、 $|L\rangle$ が吸収される。

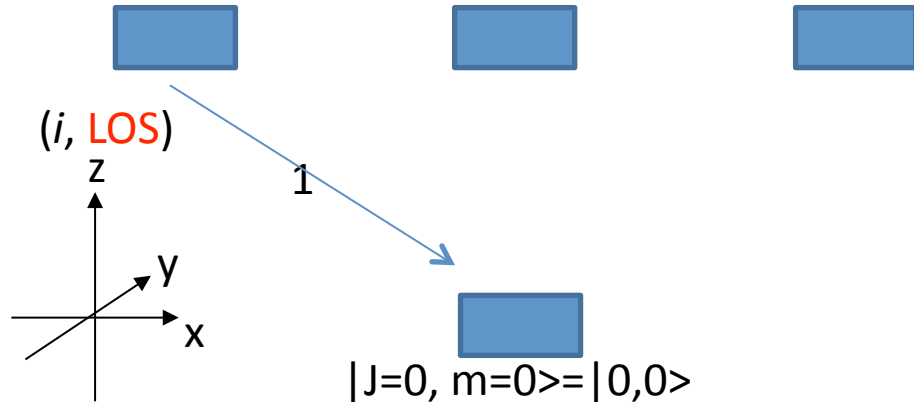
$\pi$  transition

( $|J=1, m=0\rangle$  to  $|J=0, m=0\rangle$ )はない。

# Scattering at disk center -deexcitation process-

Transition between  $|0,0\rangle$  and  $|1,1\rangle$

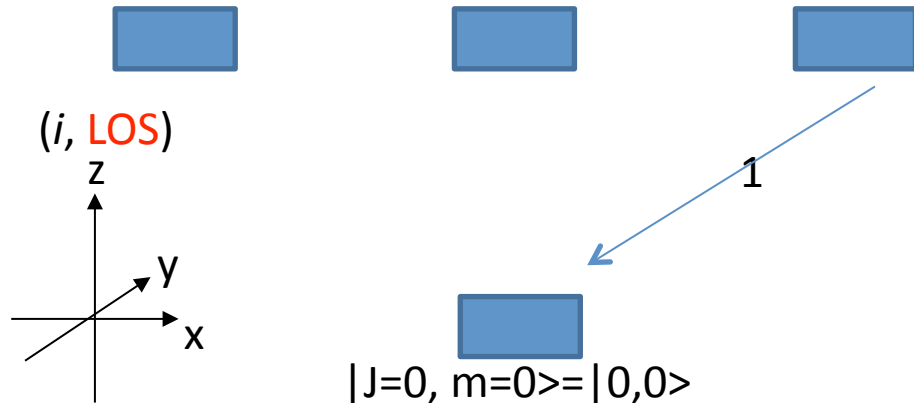
$$|J=1, m=1\rangle = |1\rangle \quad |J=1, m=0\rangle = |0\rangle \quad |J=1, m=-1\rangle = |-1\rangle$$



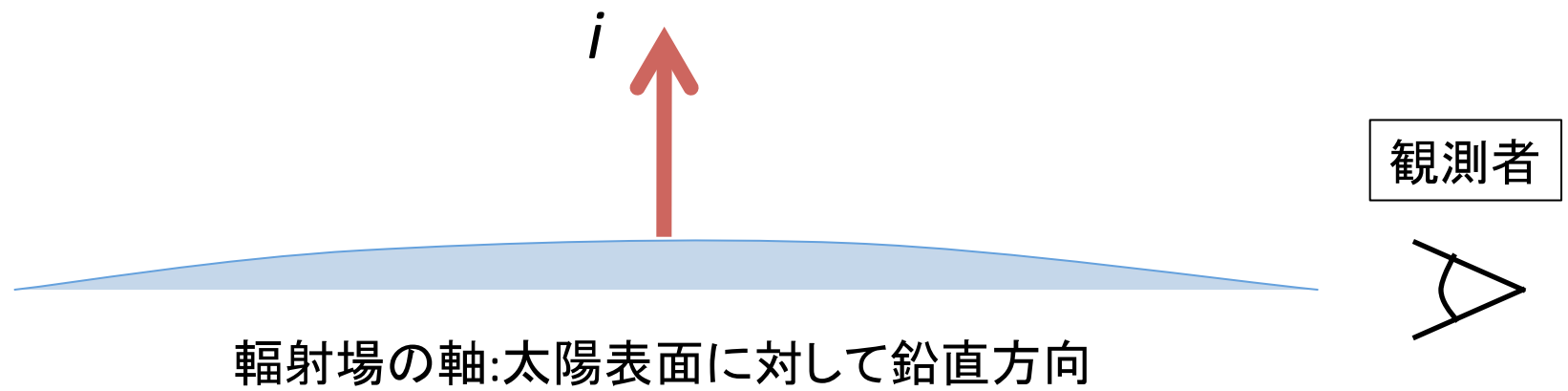
各遷移でそれぞれ  $|R\rangle$  と  $|L\rangle$  の光子を放射.  
トータルとして無偏光.

Transition between  $|0,0\rangle$  and  $|1,-1\rangle$

$$|J=1, m=1\rangle = |1\rangle \quad |J=1, m=0\rangle = |0\rangle \quad |J=1, m=-1\rangle = |-1\rangle$$



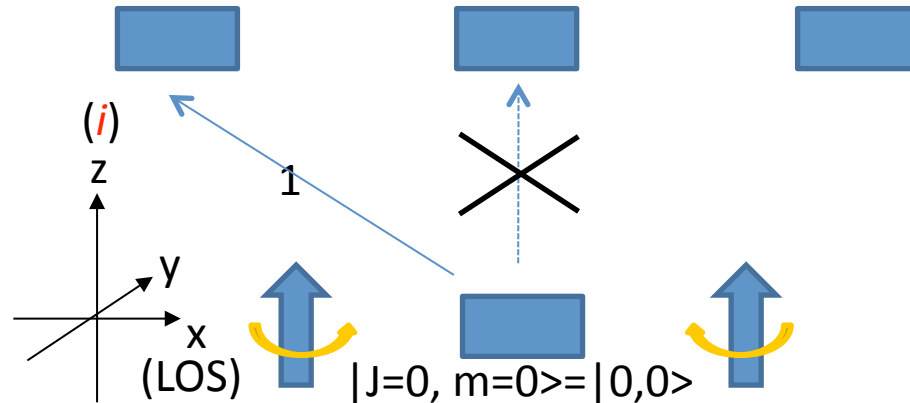
# 散乱 (太陽渦の場合) 磁場なし



# 90 deg scattering (B=0) -excitation process-

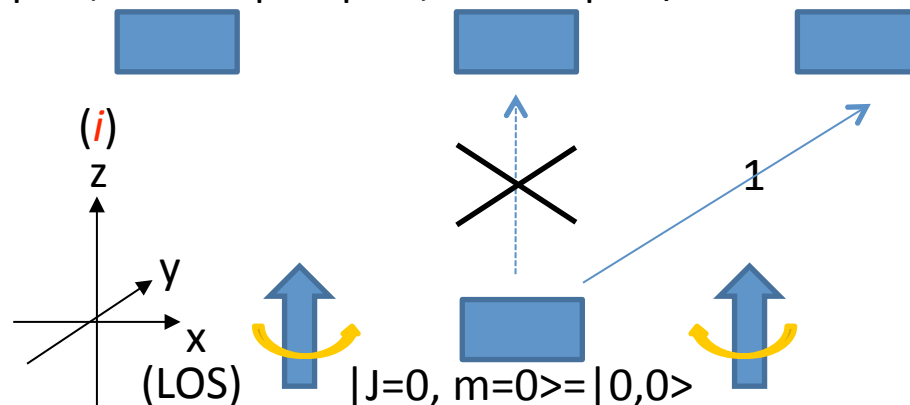
Transition between  $|0,0\rangle$  and  $|1,1\rangle$

$$|J=1, m=1\rangle = |1\rangle \quad |J=1, m=0\rangle = |0\rangle \quad |J=1, m=-1\rangle = |-1\rangle$$



Transition between  $|0,0\rangle$  and  $|1,-1\rangle$

$$|J=1, m=1\rangle = |1\rangle \quad |J=1, m=0\rangle = |0\rangle \quad |J=1, m=-1\rangle = |-1\rangle$$



リム観測:  
放射場の軸をz軸, 視線方向をx軸.

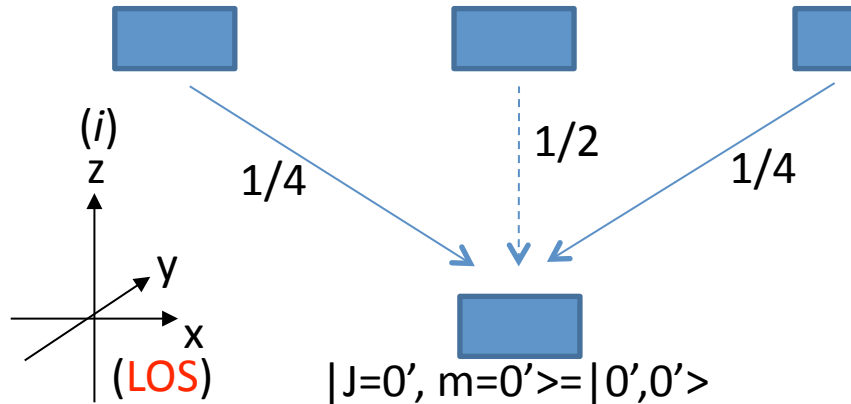
①量子化軸を輻射場の向き(z軸)にとる.  
角運動量保存則から,  $|1,1\rangle$ への励起では,  
 $|R\rangle$ が吸収され,  $|1,-1\rangle$ への励起では,  
 $|L\rangle$ が吸収される.

π transition  
( $|J=1, m=0\rangle$  to  $|J=0, m=0\rangle$ )はない.

# 90 deg scattering (B=0) -deexcitation process-

Transition between  $|0,0\rangle$  and  $|1,1\rangle$

$$|J=1', m=1'\rangle = |1'\rangle \quad |J=1', m=0'\rangle = |0'\rangle \quad |J=1', m=-1'\rangle = |-1'\rangle$$



②量子化軸をx軸にとる(量子化軸を90°回転)

$$|1', 1'\rangle = (1+\cos\theta)/2 |1\rangle = 1/2 |1\rangle \Leftrightarrow \langle 1' | 1' \rangle = 1/4$$

$$|1', 0'\rangle = -\sin\theta/\sqrt{2} |1\rangle = -1/\sqrt{2} |1\rangle \Leftrightarrow \langle 0' | 0' \rangle = 1/2$$

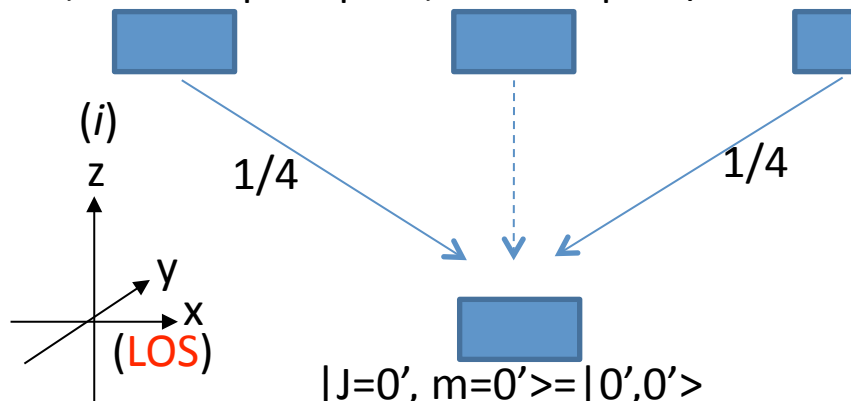
$$|1', -1'\rangle = (1-\cos\theta)/2 |1\rangle = 1/2 |1\rangle \Leftrightarrow \langle -1' | -1' \rangle = 1/4$$

角運動量保存則より,  $|1', 0'\rangle \rightarrow |0', 0'\rangle$  で光子は視線方向(x軸)には放射されない。

$|1'\rangle$  と  $|-1'\rangle$  が同位相化し(coherencyの発生),  $y$  方向の直線偏光( $\frac{1}{2}(|R\rangle + |L\rangle)$ )が放射される。

Transition between  $|0,0\rangle$  and  $|1,-1\rangle$

$$|J=1', m=1'\rangle = |1'\rangle \quad |J=1', m=0'\rangle = |0'\rangle \quad |J=1', m=-1'\rangle = |-1'\rangle$$



②量子化軸をx軸にとる(量子化軸を90°回転)

$$|1', 1'\rangle = (1+\cos\theta)/2 |1\rangle = 1/2 |1\rangle \Leftrightarrow \langle 1' | 1' \rangle = 1/4$$

$$|1', 0'\rangle = -\sin\theta/\sqrt{2} |1\rangle = -1/\sqrt{2} |1\rangle \Leftrightarrow \langle 0' | 0' \rangle = 1/2$$

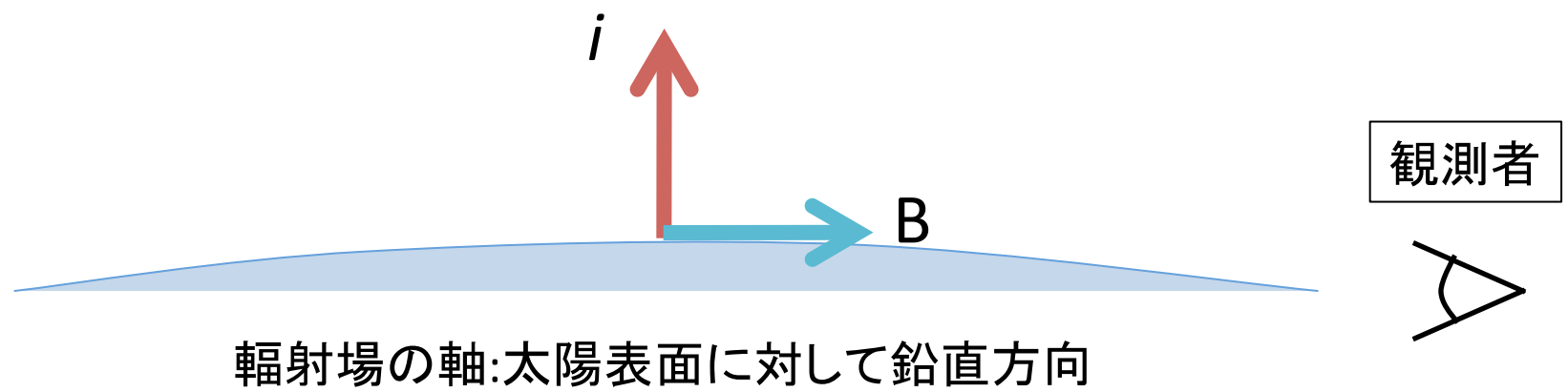
$$|1', -1'\rangle = (1-\cos\theta)/2 |1\rangle = 1/2 |1\rangle \Leftrightarrow \langle -1' | -1' \rangle = 1/4$$

$y$  方向の直線偏光( $\frac{1}{2}(|R\rangle + |L\rangle)$ )が放射される。

全ての光子は,  $(|R\rangle + |L\rangle)$  であらわせる  $y$  方向(リム方向)に偏光した直線偏光に。

⇒ 散乱偏光 (90 deg scattering)!

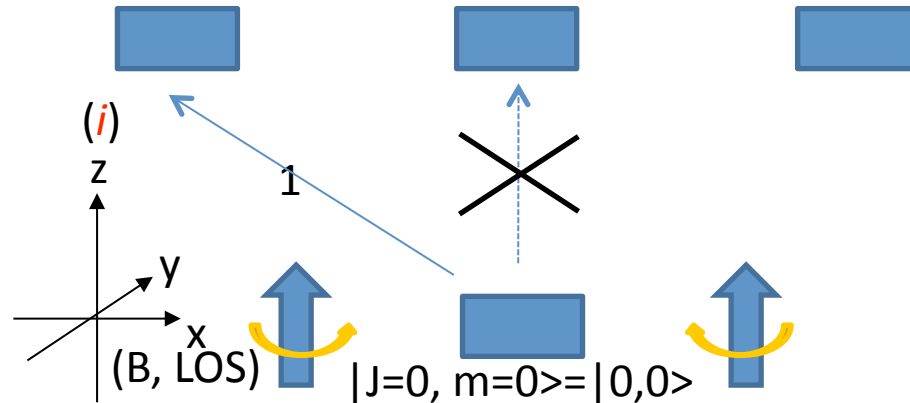
# 散乱(太陽渦の場合) 磁場あり



# 90 deg scattering ( $B \neq 0$ ) -excitation process-

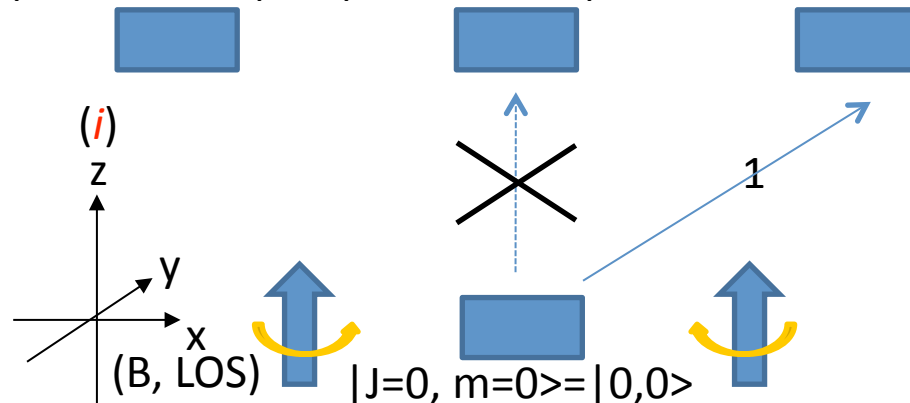
Transition between  $|0,0\rangle$  and  $|1,1\rangle$

$$|J=1, m=1\rangle = |1\rangle \quad |J=1, m=0\rangle = |0\rangle \quad |J=1, m=-1\rangle = |-1\rangle$$



Transition between  $|0,0\rangle$  and  $|1,-1\rangle$

$$|J=1, m=1\rangle = |1\rangle \quad |J=1, m=0\rangle = |0\rangle \quad |J=1, m=-1\rangle = |-1\rangle$$



リム観測:

放射場の軸をz軸, 視線方向, B方向をx軸.

①量子化軸を輻射場の向き(z軸)にとる.  
角運動量保存則から,  $|1,1\rangle$ への励起では,  
 $|R\rangle$ が吸収され,  $|1,-1\rangle$ への励起では,  
 $|L\rangle$ が吸収される.

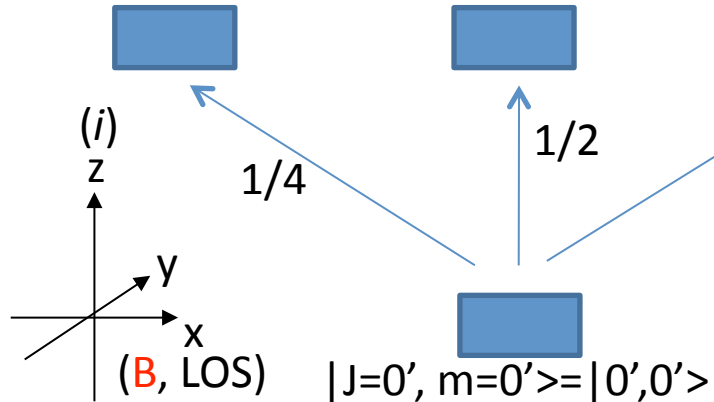
π transition

( $|J=1, m=0\rangle$  to  $|J=0, m=0\rangle$ )はない.

# 90 deg scattering ( $B \neq 0$ ) -Rotation of quantum axis due to B

Transition between  $|0',0'\rangle$  and  $|1',1'\rangle$

$$|J=1', m=1'\rangle = |1'\rangle \quad |J=1', m=0'\rangle = |0'\rangle \quad |J=1', m=-1'\rangle = |-1'\rangle$$



②量子化軸を磁場方向(x軸)にとる(量子化軸を90°回転)

$$|1',1'\rangle = (1+\cos\theta)/2 |1\rangle = 1/2 |1\rangle \Rightarrow \langle 1'|1'\rangle = 1/4$$

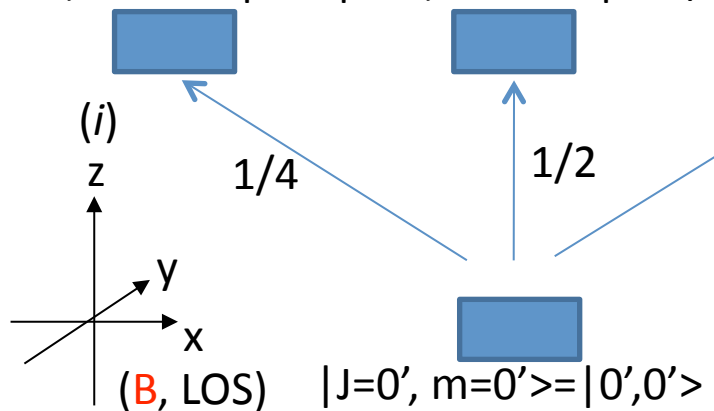
$$|1',0'\rangle = -\sin\theta/\sqrt{2} |1\rangle = -1/\sqrt{2} |1\rangle \Rightarrow \langle 0'|0'\rangle = 1/2$$

$$|1',-1'\rangle = (1-\cos\theta)/2 |1\rangle = 1/2 |1\rangle \Rightarrow \langle -1'|-1'\rangle = 1/4$$

$|1'\rangle, |0'\rangle, |-1'\rangle$ が同位相化。

Transition between  $|0',0'\rangle$  and  $|1',-1'\rangle$

$$|J=1', m=1'\rangle = |1'\rangle \quad |J=1', m=0'\rangle = |0'\rangle \quad |J=1', m=-1'\rangle = |-1'\rangle$$



②量子化軸を磁場方向(x軸)にとる(量子化軸を90°回転)

$$|1',1'\rangle = (1+\cos\theta)/2 |1\rangle = 1/2 |1\rangle \Rightarrow \langle 1'|1'\rangle = 1/4$$

$$|1',0'\rangle = -\sin\theta/\sqrt{2} |1\rangle = -1/\sqrt{2} |1\rangle \Rightarrow \langle 0'|0'\rangle = 1/2$$

$$|1',-1'\rangle = (1-\cos\theta)/2 |1\rangle = 1/2 |1\rangle \Rightarrow \langle -1'|-1'\rangle = 1/4$$

$|1'\rangle, |0'\rangle, |-1'\rangle$ が同位相化。

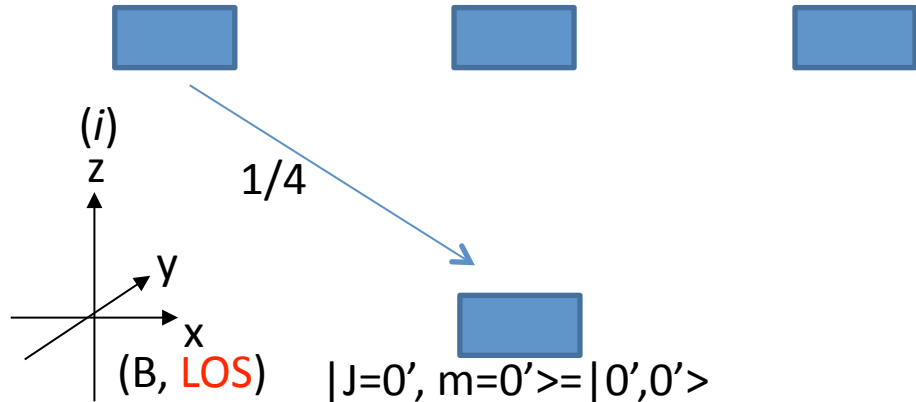
# ハンレ効果

- $B$ によって、縮退がとけてcoherencyが緩和される。
  - 磁場強度によって、直線偏光度が変化。
- $B$ が十分強いと、完全にcoherencyがなくなる。(Hanle saturation).
  - 偏光度の $B$ 依存性がなくなる。
  - coherencyがないので、各固有状態ごとにわけて脱励起を考えられる。

## 90 deg scattering ( $B \neq 0$ ) -deexcitation-

Transition between  $|0',0'\rangle$  and  $|1',1'\rangle$

$$|J=1', m=1'\rangle = |1'\rangle \quad |J=1', m=0'\rangle = |0'\rangle \quad |J=1', m=-1'\rangle = |-1'\rangle$$

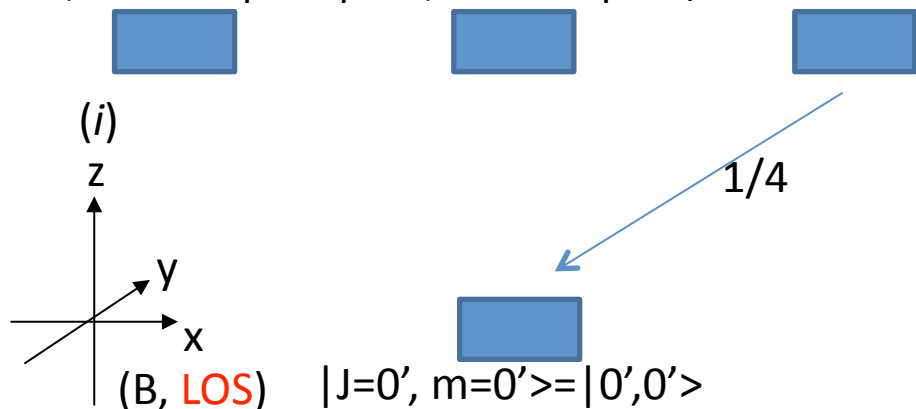


※ $B$ によりCoherencyがなくなったので、各成分ごとで考える。

角運動量保存則から、右回り円偏光  $|R\rangle$  が放射される。

Transition between  $|0',0'\rangle$  and  $|1',-1'\rangle$

$$|J=1', m=1'\rangle = |1'\rangle \quad |J=1', m=0'\rangle = |0'\rangle \quad |J=1', m=-1'\rangle = |-1'\rangle$$



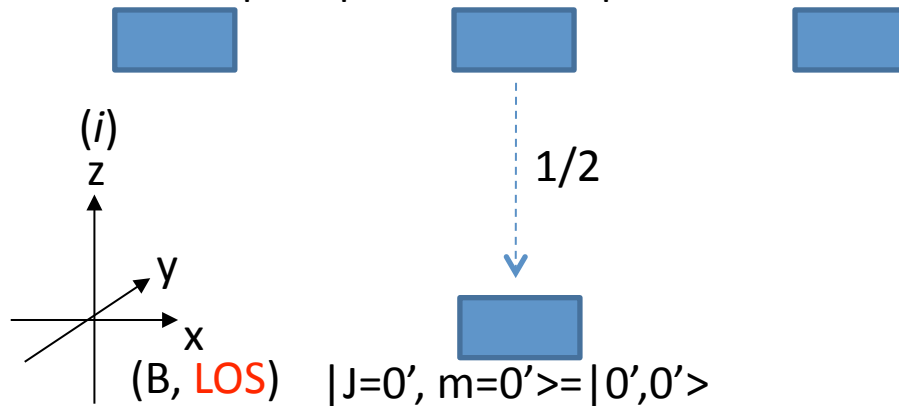
角運動量保存則から、左回り円偏光  $|L\rangle$  が放射される。

## 90 deg scattering ( $B \neq 0$ ) -deexcitation-

※BによりCoherencyがなくなったので、各成分ごとで考える。

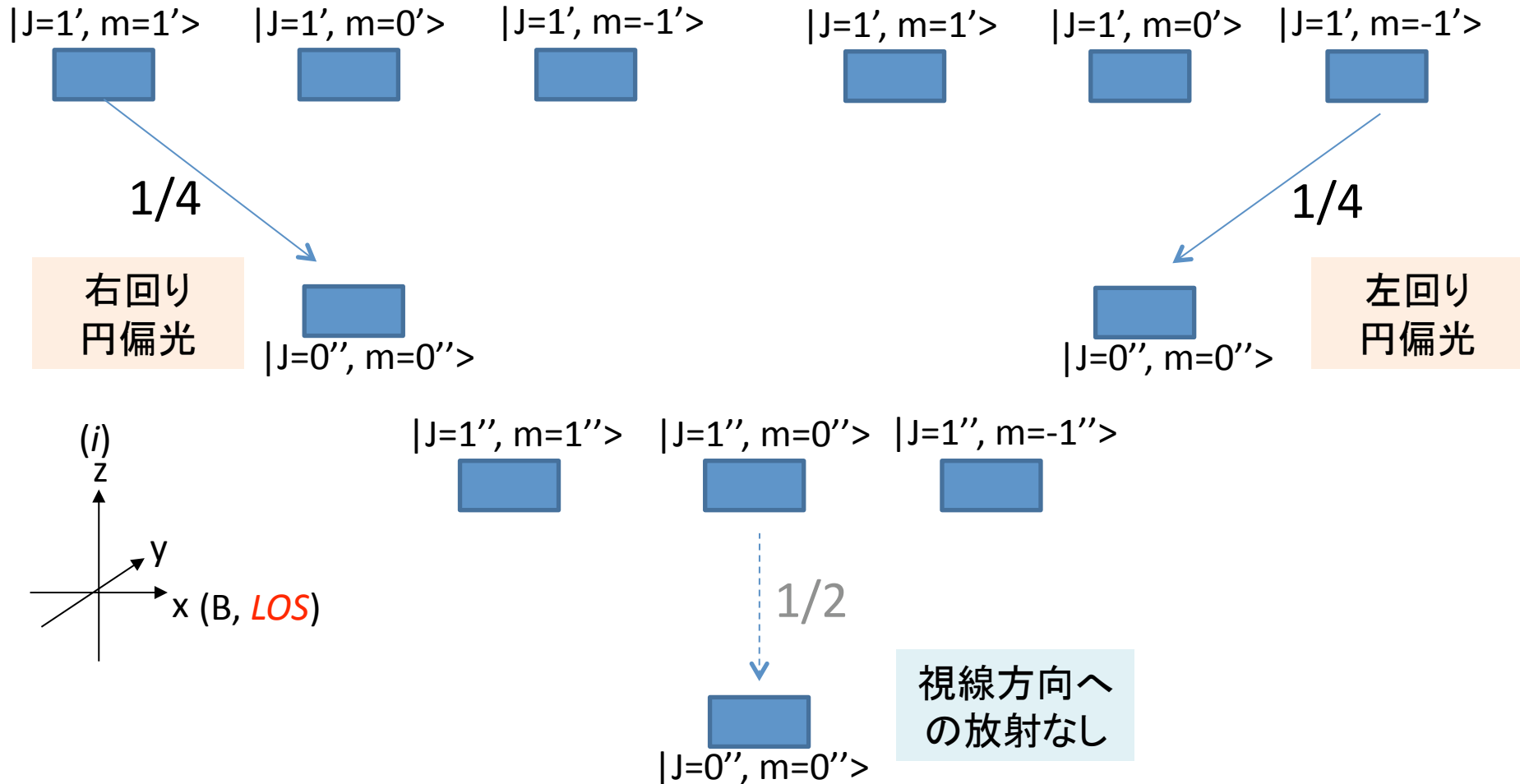
Transition between  $|0',0'\rangle$  and  $|1',1'\rangle$

$$|J=1', m=1'\rangle = |1'\rangle \quad |J=1', m=0'\rangle = |0'\rangle \quad |J=1', m=-1'\rangle = |-1'\rangle$$



角運動量保存則より、量子化軸( $x$ 軸)の方向に光子は放射されない( $y$ 軸,  $z$ 軸方向には放射される)。

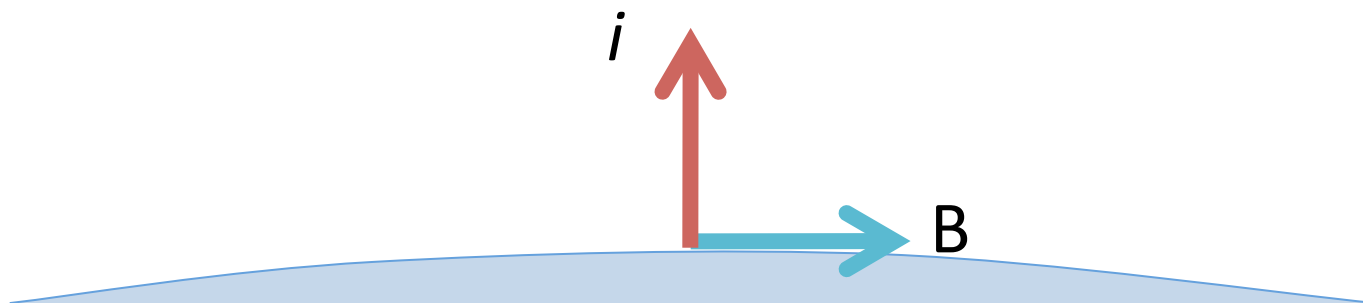
# 90 deg scattering ( $B \neq 0$ ) まとめ



トータルで、無偏光  $\Rightarrow$  散乱偏光+Depolarization (90° scattering)!

# Forward scattering

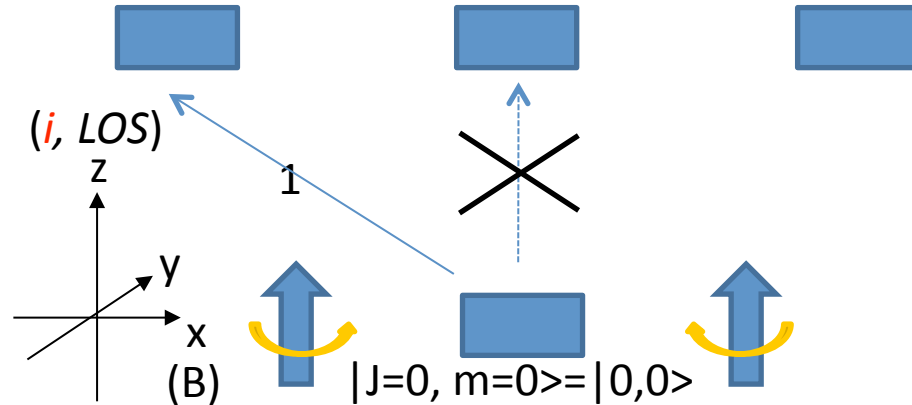
A 觀測者



## forward scattering (disk center) -excitation process-

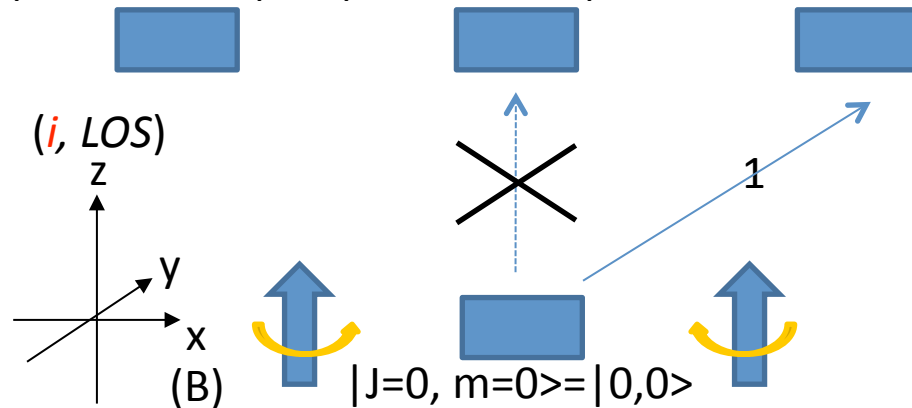
Transition between  $|0,0\rangle$  and  $|1,1\rangle$

$$|J=1, m=1\rangle = |1\rangle \quad |J=1, m=0\rangle = |0\rangle \quad |J=1, m=-1\rangle = |-1\rangle$$



Transition between  $|0,0\rangle$  and  $|1,-1\rangle$

$$|J=1, m=1\rangle = |1\rangle \quad |J=1, m=0\rangle = |0\rangle \quad |J=1, m=-1\rangle = |-1\rangle$$



太陽中心での観測：  
放射場, 視線方向をz軸, 磁場方向をx軸.

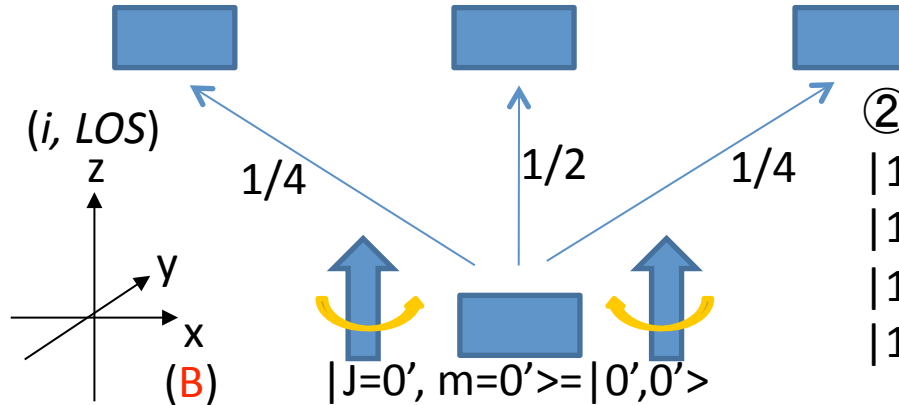
①量子化軸を輻射場の向き(z軸)にとる.  
角運動量保存則から,  $|1,1\rangle$ への励起では,  
 $|R\rangle$ が吸収され,  $|1,-1\rangle$ への励起では,  $|L\rangle$ が  
吸収される.

$\pi$  transition  
( $|J=1,m=0\rangle$  to  $|J=0,m=0\rangle$ )はない.

# forward scattering (disk center) –Rotation of axis due to B-

Transition between  $|0,0\rangle$  and  $|1,1\rangle$

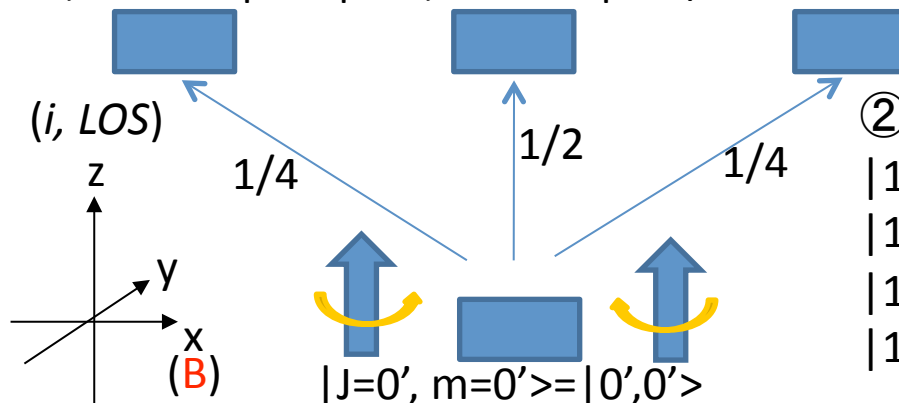
$$|J=1', m=1'\rangle = |1'\rangle \quad |J=1', m=0'\rangle = |0'\rangle \quad |J=1', m=-1'\rangle = |-1'\rangle$$



②量子化軸をB方向(x軸)に(量子化軸を90°回転)  
 $|1',1'\rangle = (1+\cos\theta)/2|1\rangle = 1/2|1\rangle \Rightarrow \langle 1'|1'\rangle = 1/4$   
 $|1',0'\rangle = -\sin\theta/\sqrt{2}|1\rangle = -1/\sqrt{2}|1\rangle \Rightarrow \langle 0'|0'\rangle = 1/2$   
 $|1',-1'\rangle = (1-\cos\theta)/2|1\rangle = 1/2|1\rangle \Rightarrow \langle -1'|-1'\rangle = 1/4$   
 $|1'\rangle, |0'\rangle, |-1'\rangle$ が同位相化(coherencyの発生).

Transition between  $|0,0\rangle$  and  $|1,-1\rangle$

$$|J=1', m=1'\rangle = |1'\rangle \quad |J=1', m=0'\rangle = |0'\rangle \quad |J=1', m=-1'\rangle = |-1'\rangle$$



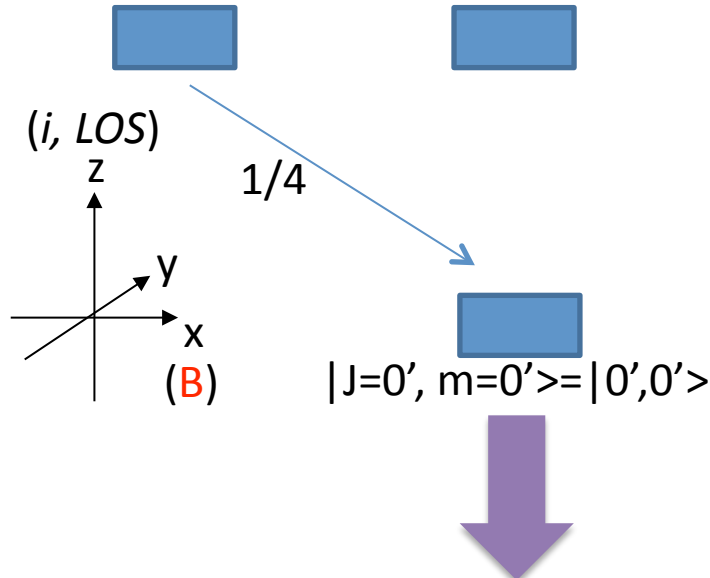
②量子化軸をB方向(x軸)に(量子化軸を90°回転)  
 $|1',1'\rangle = (1+\cos\theta)/2|1\rangle = 1/2|1\rangle \Rightarrow \langle 1'|1'\rangle = 1/4$   
 $|1',0'\rangle = -\sin\theta/\sqrt{2}|1\rangle = -1/\sqrt{2}|1\rangle \Rightarrow \langle 0'|0'\rangle = 1/2$   
 $|1',-1'\rangle = (1-\cos\theta)/2|1\rangle = 1/2|1\rangle \Rightarrow \langle -1'|-1'\rangle = 1/4$   
 $|1'\rangle, |0'\rangle, |-1'\rangle$ が同位相化(coherencyの発生).

Bが十分強い時(Hanle saturation), coherencyが完全に破壊される.

# forward scattering (disk center) –deexcitation process-

Transition between  $|1',1'\rangle$  and  $|0',0'\rangle$

$$|J=1', m=1'\rangle = |1'\rangle \quad |J=1', m=0'\rangle = |0'\rangle \quad |J=1', m=-1'\rangle = |-1'\rangle$$



※各成分ごとに考える

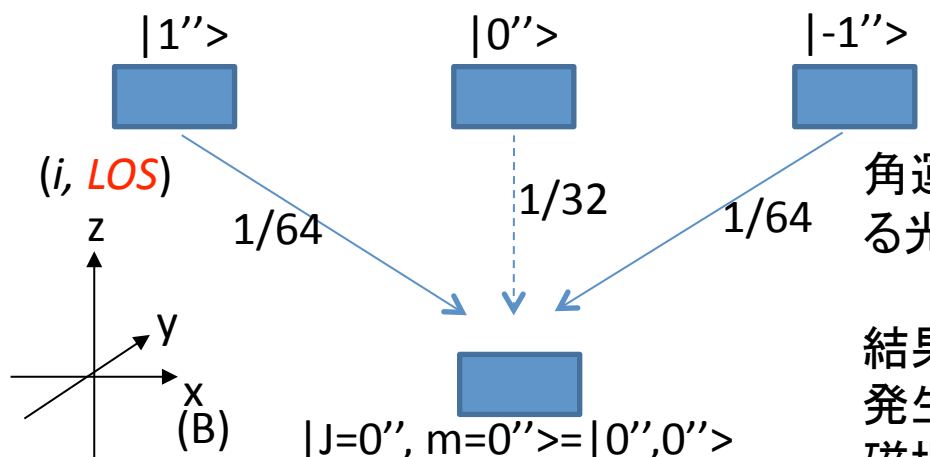
$B$ によりCoherencyがなくなったので、各成分ごとに改めて考える。

量子化軸を $B$ 方向(x軸)からz軸に-90°回転。

$$|1''\rangle = (1+\cos\theta)/2|1'\rangle = 1/2|1'\rangle \Leftrightarrow \langle 1''|1''\rangle = 1/64$$

$$|0''\rangle = -\sin\theta/\sqrt{2}|1'\rangle = -1/\sqrt{2}|1'\rangle \Leftrightarrow \langle 0''|0''\rangle = 1/32$$

$$|-1''\rangle = (1-\cos\theta)/2|1'\rangle = 1/2|1'\rangle \Leftrightarrow \langle -1''| -1''\rangle = 1/64$$



角運動量保存則より、 $|1'',0''\rangle \rightarrow |0'',0''\rangle$ 遷移による光子は視線方向(z軸)には放射されない。

結果として、 $|1''\rangle$ と $|-1''\rangle$ が同位相化 (coherencyの発生)。放出される光子は、 $(|R\rangle + |L\rangle)$ で記述される磁場に垂直な(y方向)直線偏光。

# forward scattering (disk center) –deexcitation process-

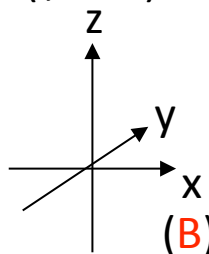
Transition between  $|1', -1'\rangle$  and  $|0', 0'\rangle$

$$|J=1', m=1'\rangle = |1'\rangle \quad |J=1', m=0'\rangle = |0'\rangle \quad |J=1', m=-1'\rangle = |-1'\rangle$$

※各成分ごとに考える



$(i, LOS)$



$$|J=0', m=0'\rangle = |0', 0'\rangle$$

1/4

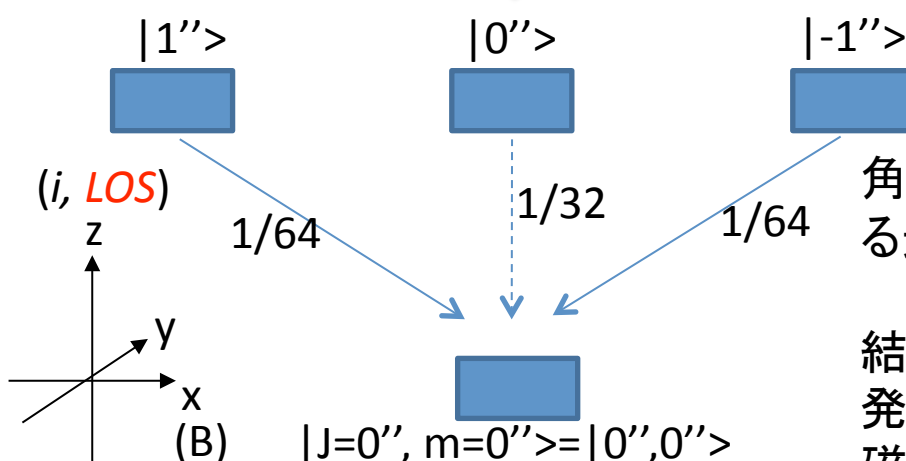
BによりCoherencyがなくなったので、各成分ごとに改めて考える。

量子化軸をB方向(x軸)からz軸に-90°回転。

$$|1''\rangle = (1+\cos\theta)/2 |1'\rangle = 1/2 |1'\rangle \Leftrightarrow \langle 1'' | 1'' \rangle = 1/64$$

$$|0''\rangle = -\sin\theta/\sqrt{2} |1'\rangle = -1/\sqrt{2} |1'\rangle \Leftrightarrow \langle 0'' | 0'' \rangle = 1/32$$

$$|-1''\rangle = (1-\cos\theta)/2 |1'\rangle = 1/2 |1'\rangle \Leftrightarrow \langle -1'' | -1'' \rangle = 1/64$$



$|1''\rangle$

$|0''\rangle$

$|-1''\rangle$

1/64

1/32

1/64

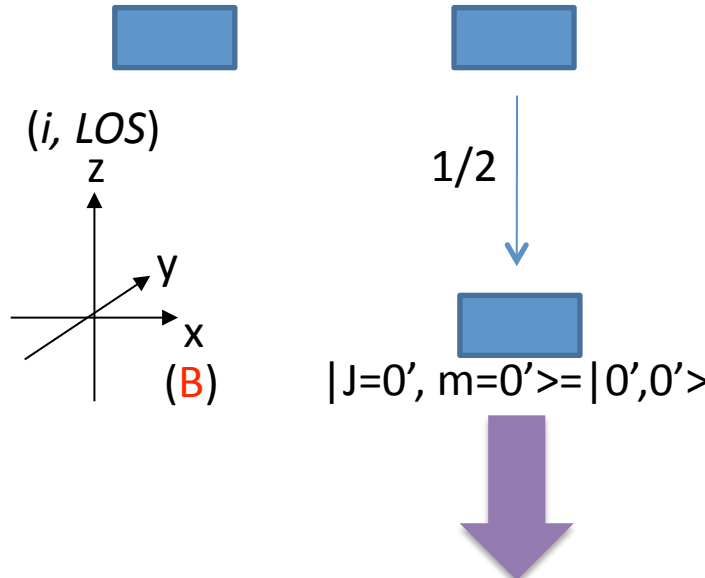
角運動量保存則より、 $|1'', 0''\rangle \rightarrow |0'', 0''\rangle$ 遷移による光子は視線方向(z軸)には放射されない。

結果として、 $|1''\rangle$ と $|-1''\rangle$ が同位相化 (coherencyの発生)。放出される光子は、 $(|R\rangle + |L\rangle)$ で記述される磁場に垂直な(y方向)直線偏光。

# forward scattering (disk center) –deexcitation process-

Transition between  $|1',0'\rangle$  and  $|0',0'\rangle$

$$|J=1', m=1'\rangle = |1'\rangle \quad |J=1', m=0'\rangle = |0'\rangle \quad |J=1', m=-1'\rangle = |-1'\rangle$$



※各成分ごとに考える

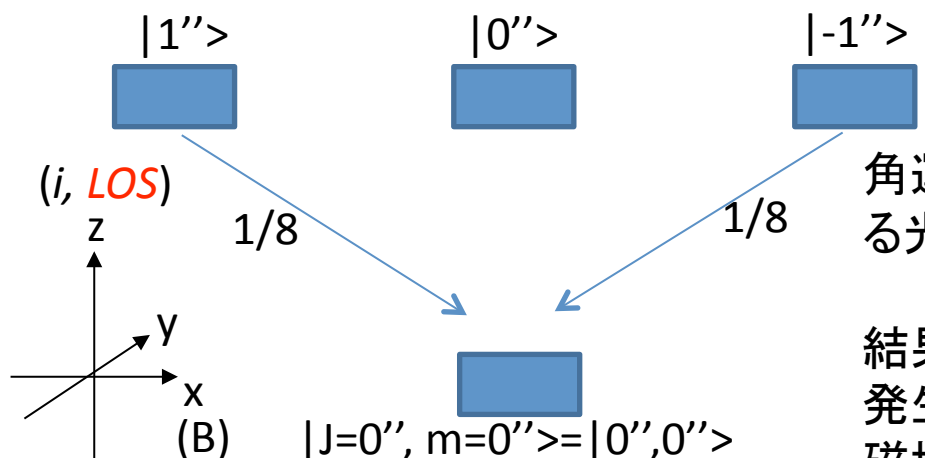
BによりCoherencyがなくなったので、各成分ごとで考える。

量子化軸をB方向(x軸)からz軸に-90°回転。

$$|1''\rangle = \sin\theta/\sqrt{2} |0'\rangle = -1/\sqrt{2} |0'\rangle \Rightarrow \langle 1'' | 1'' \rangle = 1/8$$

$$|0''\rangle = \cos\theta |0'\rangle = 0 \Rightarrow \langle 0'' | 0'' \rangle = 0$$

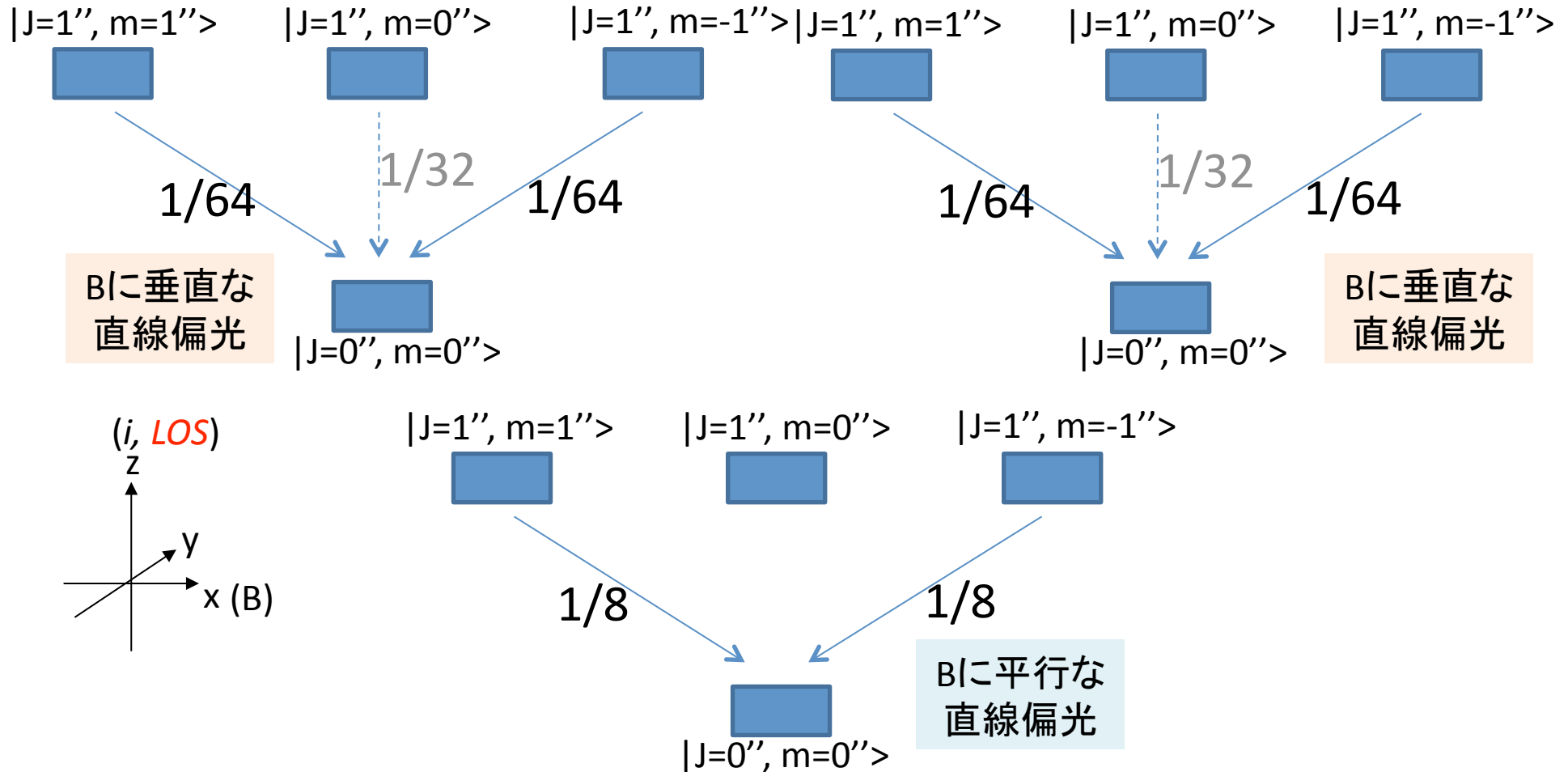
$$|-1''\rangle = -\sin\theta/\sqrt{2} |0'\rangle = 1/\sqrt{2} |0'\rangle \Rightarrow \langle -1'' | -1'' \rangle = 1/8$$



角運動量保存則より、 $|1'',0''\rangle \rightarrow |0'',0''\rangle$ 遷移による光子は視線方向(z軸)には放射されない。

結果として、 $|1''\rangle$ と $|-1''\rangle$ が同位相化 (coherencyの発生)。放出される光子は、 $(|R\rangle - |L\rangle)$ で記述される磁場に平行な(x方向) 直線偏光。

# forward scattering (disk center) まとめ



トータルで、Bに平行な直線偏光成分が残る  $\Rightarrow$  forward scattering!

# Density matrixとの関係1

- 量子化軸の回転によって生じるcoherence.

$$\begin{aligned}\rho &= \sum_M p_M |M\rangle\langle M| \\ &= \frac{1}{2} \{ |1\rangle\langle 1| + |-1\rangle\langle -1| \} \quad \xrightarrow{\text{ }} \quad \rho = \frac{1}{2} \begin{pmatrix} C_1 & C_3 & C_4 \\ C_3 & C_2 & C_3 \\ C_4 & C_3 & C_1 \end{pmatrix} \\ &= \frac{1}{2} \begin{pmatrix} 1 & 0 & 0 \\ 0 & 0 & 0 \\ 0 & 0 & 1 \end{pmatrix}\end{aligned}$$

Density matrixの非対角成分が生じる.

# Density matrixとの関係2

- Bによる, coherencyの変化(ハンレ効果).

$$i\hbar \frac{d}{dt} \rho = [H_F, \rho] ?$$

- 磁場の強度と向きが推測したい.
  - どうにかして, Bによるcoherencyの度合いの変化を入れ込めないか?

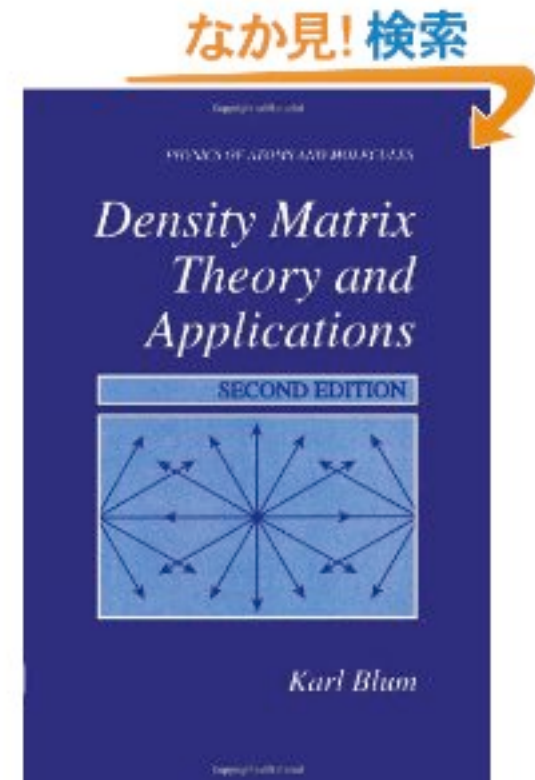
# Density Matrix Theory and Applications

- 1章読むだけでもDensity Matrixのご利益がわかる。

光子のDensity matrix

$$\rho = \frac{I}{2} \begin{pmatrix} 1+V & -Q+iU \\ -Q-iU & 1-V \end{pmatrix}$$

偏光を測定すれば、Density matrixが規定でき、光子の量子状態がわかる。



amazon HPより